

Mudanças Climáticas e Biodiversidade da Mata Atlântica e do Cerrado

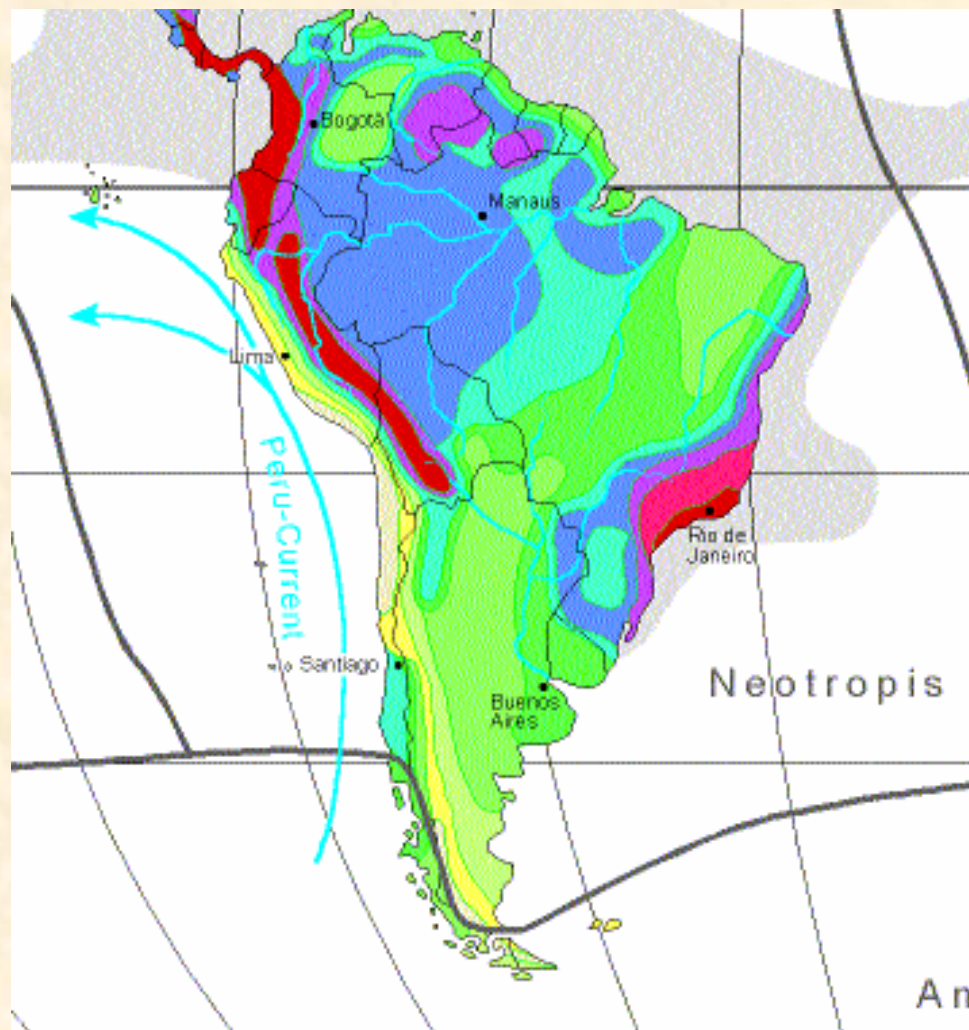
Dr. Carlos A. Joly

Depto. Botânica – IB

&

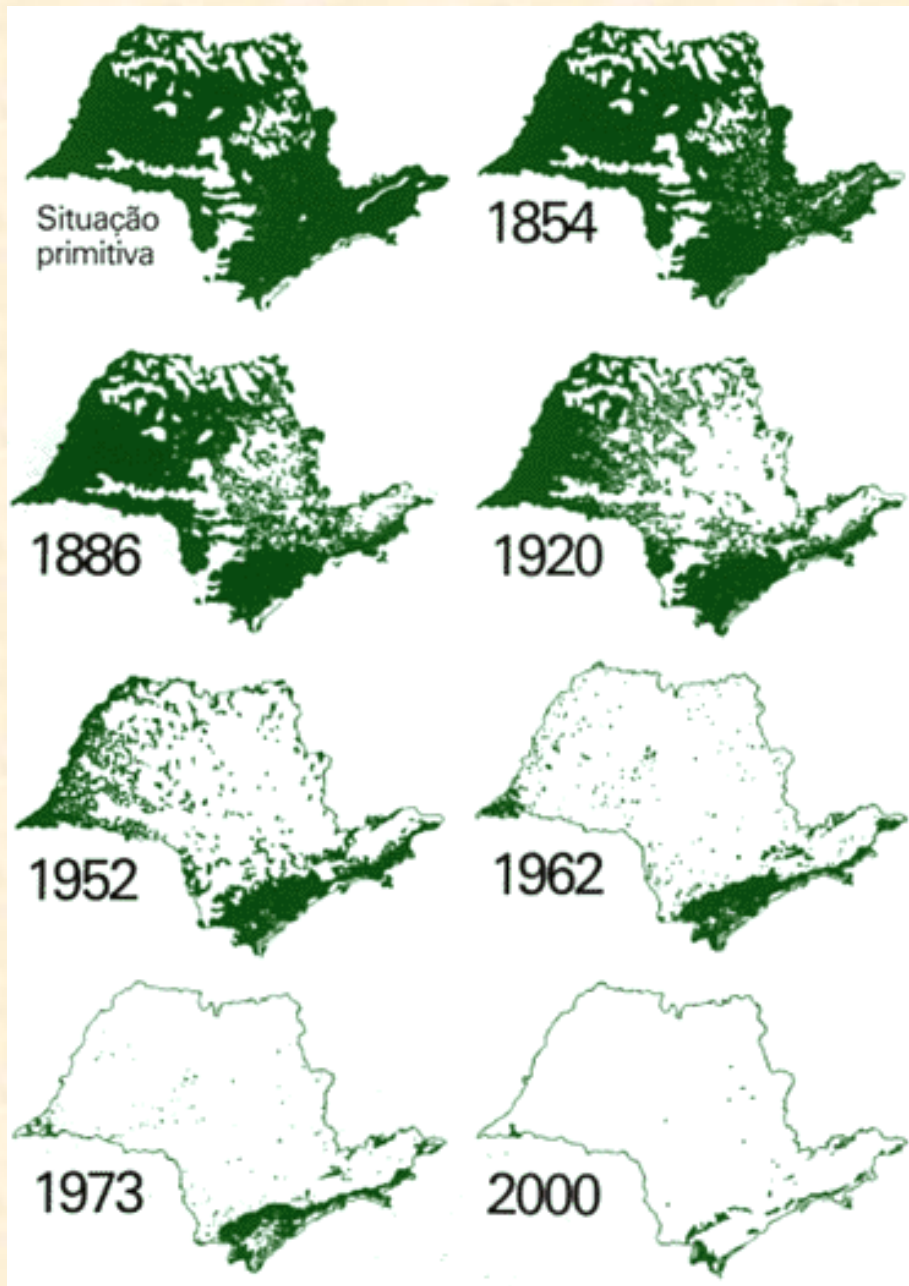
Doutorado em Ambiente e Sociedade – NEPAM



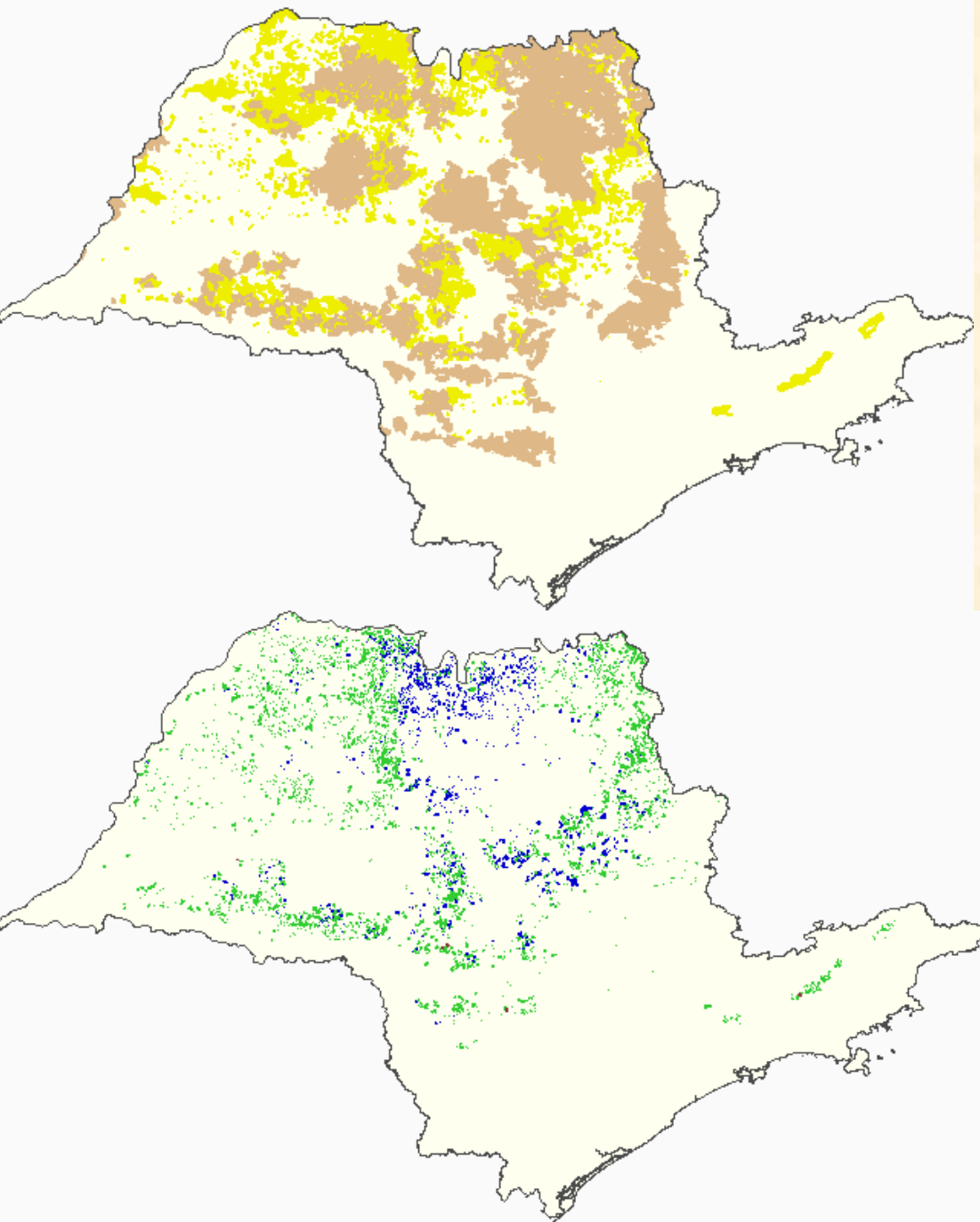


Diversity Zones (DZ): Number of species per 10.000km²





No Estado de São Paulo a área coberta por florestas nativas caiu de 85% em 1500 para 13% in 2000. Cerca de 60% dos remanescentes de floresta nativa estão na Serra do Mar e Vale do Ribeira. Destes 50% está em Parques Estaduais.

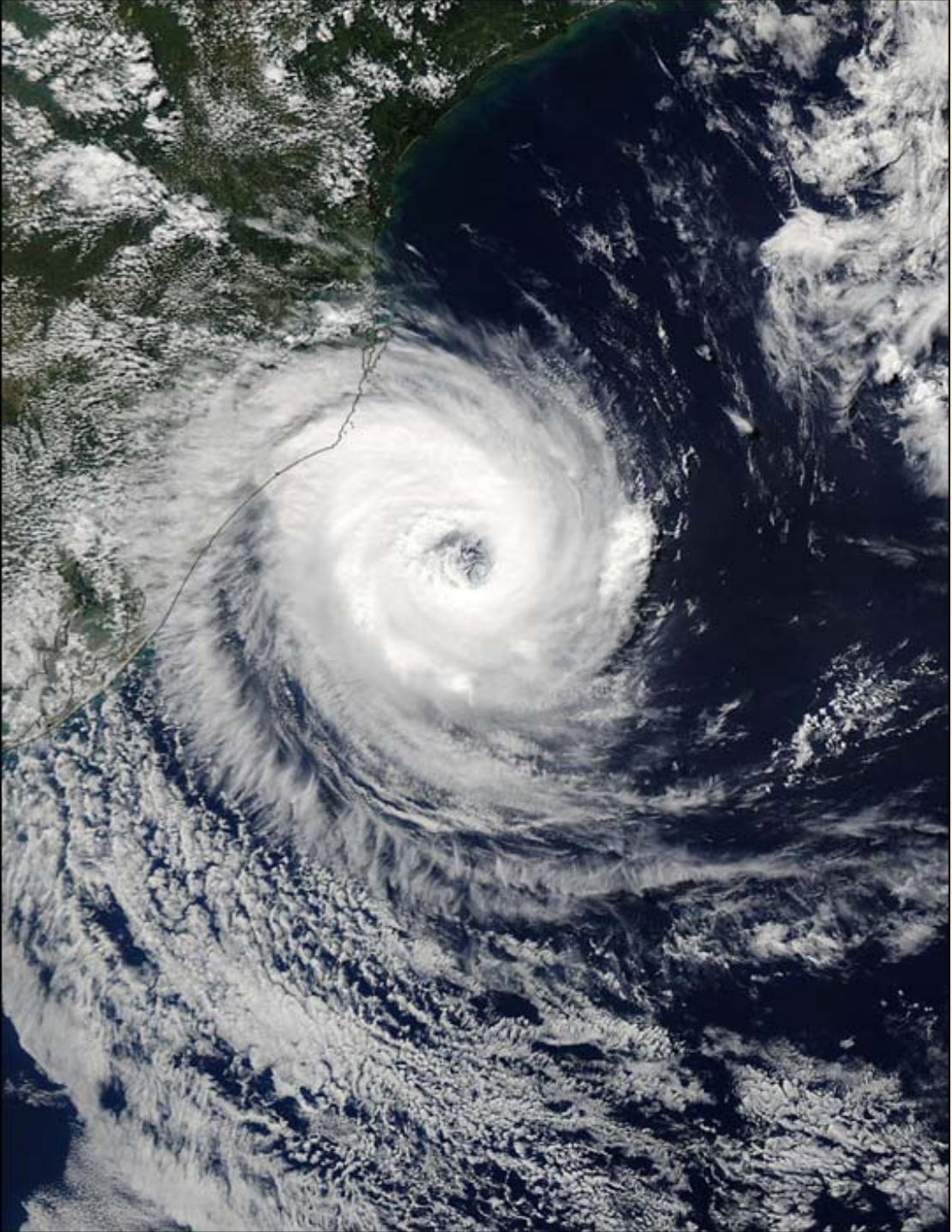


No Estado de São Paulo a área coberta por Cerrado era de 14% em 1500.

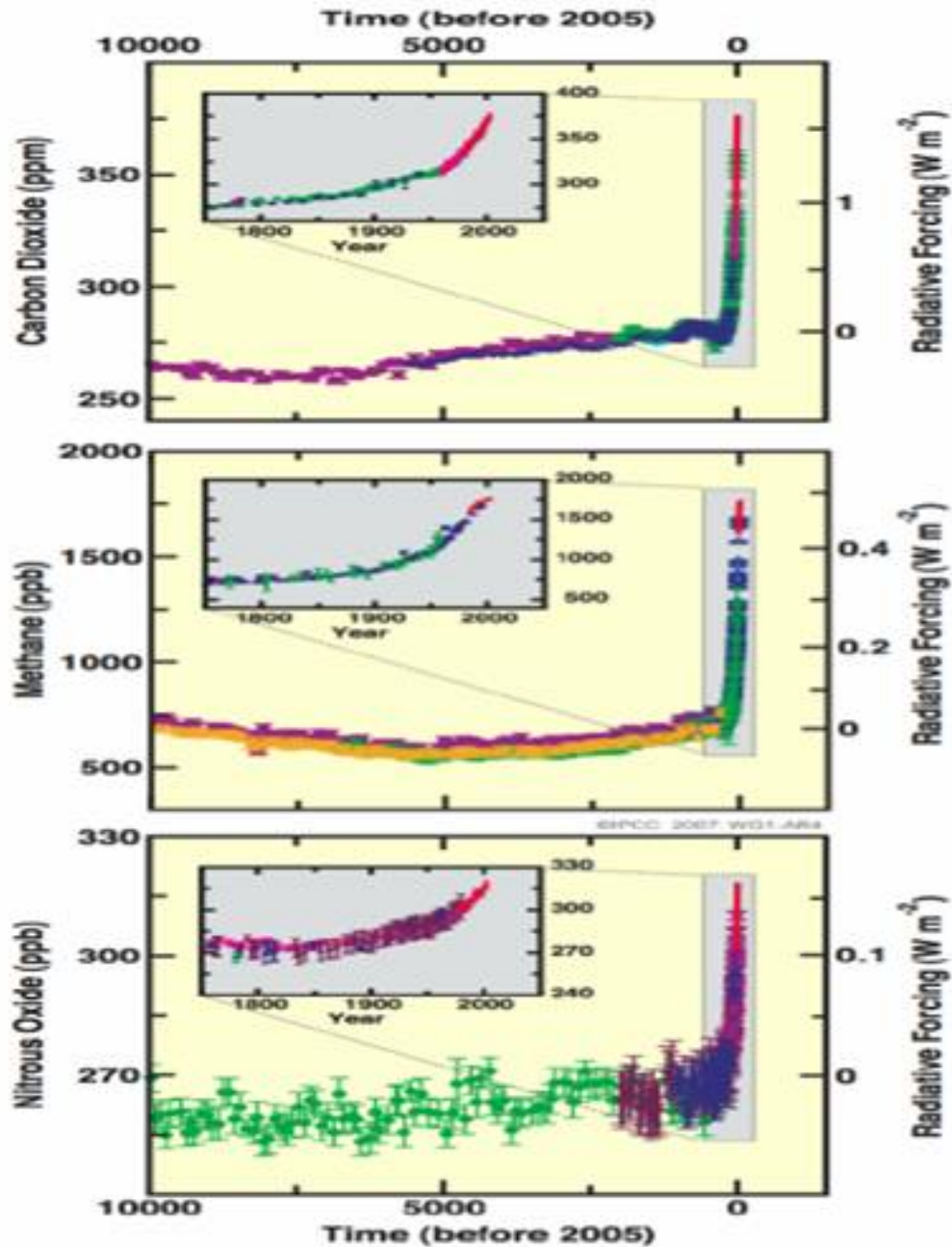
Em 1950 São Paulo detinha mais de 85% da área original de Cerrado.

Em 2004 a área de Cerrado era inferior a 2% em cerca de 8.500 fragmentos.

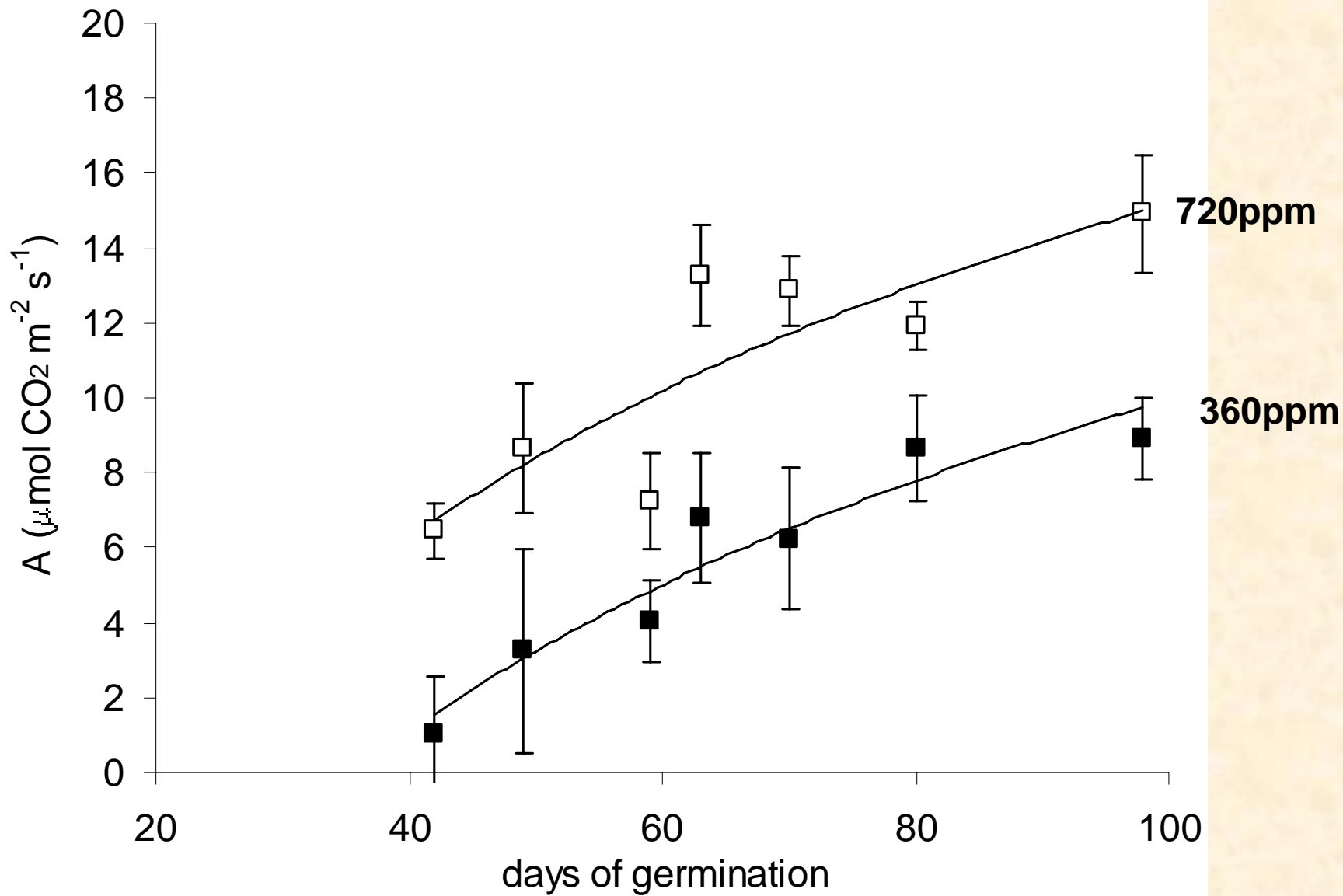
Somente cerca de 10% da área remanescente de Cerrado está em Unidades de Conservação.



Changes in Greenhouse Gases from ice-Core and Modern Data



**CONSEQUÊNCIAS DO
AUMENTO DA
CONCENTRAÇÃO DE CO₂
NA ATMOSFERA**



Aidar et al. 2002. Efeito do aumento de CO_2 no estabelecimento de plântulas de jatobá. Biota Neotropica



Jatobá *Hymenaea courbaril*



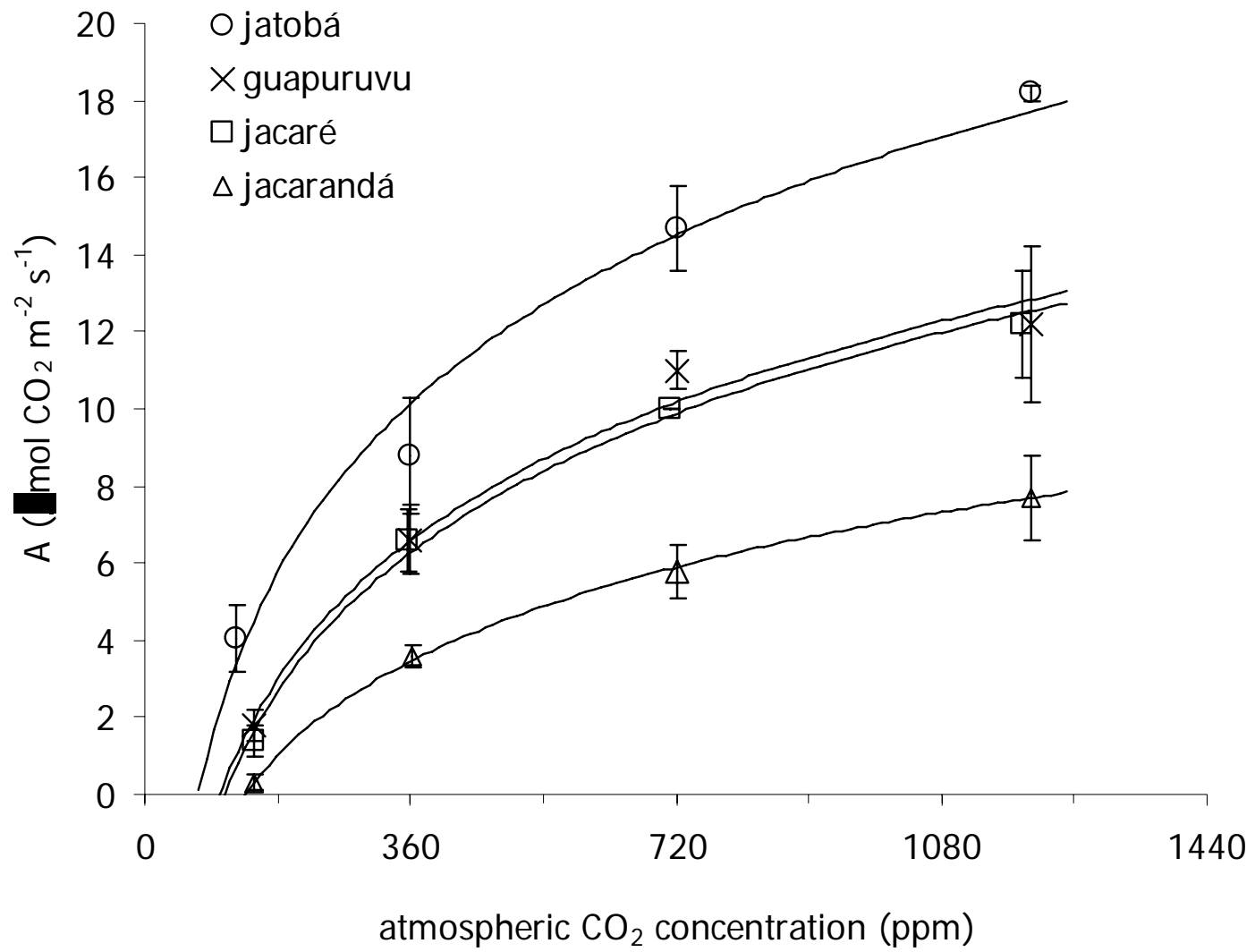
Guapuruvú – *Schyzolobium parahyba*



Jacaré - *Piptadenia gonoachanta*



Jacarandá - *Dalbergia nigra*



MONITORANDO ALTERAÇÕES NA CONCENTRAÇÃO DE N₂ ATMOSFÉRICO

São Paulo



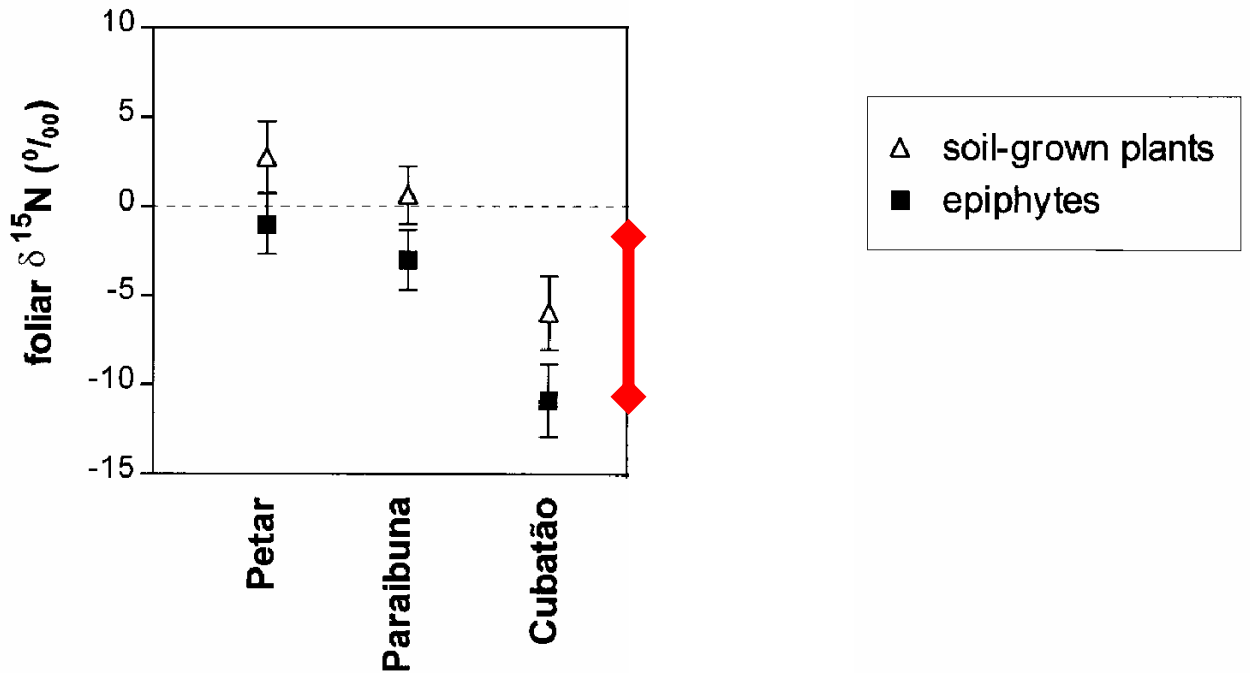
Cubatão

Image © 2005 EarthSat
Image © 2005 DigitalGlobe

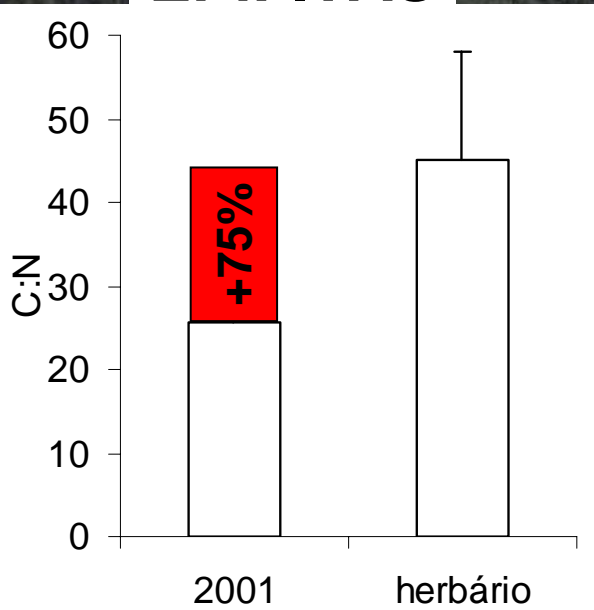
© 2005

Goog





EPÍFITAS



Epífitas podem ser utilizadas para monitoramento da poluição atmosférica através do uso da isotopia de $\delta^{15}\text{N}$.

Stewart, Joly, Aidar et al, 2002

Herbários, Museus e outras coleções biológicas, por guardarem o registro de espécies e de padrões fenológicos de décadas, às vezes séculos, atrás, são de fundamental importância para o estudo dos efeitos das mudanças climáticas globais. Estudos comparativos poderão identificar, por exemplo, alterações no padrão de distribuição ou no padrão de floração de espécies que teriam consequências imprevisíveis para as populações de seus polinizadores e dispersores. A flora e a fauna de áreas de alta concentração de espécies endêmicas, como campos de altitude do Domínio Atlântico, poderá ser a primeira a demonstrar o efeito do aquecimento, pelo fato destas espécies serem extremamente sensíveis às alterações climáticas.

Science, Vol 282, Issue 5388, 439-442 , 16 October 1998

Changes in the Carbon Balance of Tropical Forests: Evidence from Long-Term Plots

Oliver L. Phillips, * Yadvinder Malhi, * Niro Higuchi, William F. Laurance, Percy V. Núñez, Rodolfo M. Vásquez, Susan G. Laurance, Leandro V. Ferreira, Margaret Stern, Sandra Brown, John Grace

Our results suggest that mature Neotropical forest biomass may account for ~40% of the so-called "missing" terrestrial C sink (36). Hence, intact forests may be helping to buffer the rate of increase in atmospheric CO₂, thereby reducing the impacts of global climate change. However, the C sink in mature forests appears vulnerable to several factors. There is likely to be an upper limit to the biomass a forest stand can hold. Moreover, deforestation, logging (37), increased fragmentation and edge-effect mortality (23, 24), regional drying and warming (38), and possible intensification of El Niño phenomena (39) may limit and even reverse the sink provided by mature forest.

Science, Vol 284, Issue 5417, 1177-1179 , 14 May 1999

Net Primary Production of a Forest Ecosystem with Experimental CO₂ Enrichment

Evan H. DeLucia, Jason G. Hamilton, Shawna L. Naidu, Richard B. Thomas, Jeffrey A. Andrews, Adrien Finzi, Michael Lavine, Roser Matamala, Jacqueline E. Mohan, George R. Hendrey, William H. Schlesinger

Seedlings or saplings exposed to two times the current atmospheric concentration of CO₂ in growth chambers, greenhouses, or open-top chambers have ~54% greater photosynthesis and ~31% greater biomass (4). These enhancements are considerably reduced when plants receive suboptimal amounts of other important resources such as nitrogen (5). Most studies of tree rings (6) show no increase in growth rate in response to the increase in atmospheric CO₂ that has occurred from the pre-industrial concentration of ~280 ppm to the current 360 ppm. Resource limitations in natural ecosystems and other ecological interactions including competition (7) may constrain the potential for forests to respond to increasing concentrations of CO₂.

Table 1 Increasing or decreasing tree genera in undisturbed Amazonian rainforests

Genus	Family	Net change (%)
Tree density increases over time		
<i>Corythophora</i>	Lecythidaceae	+9.8
<i>Eschweilera</i>	Lecythidaceae	+4.0
Tree density decreases over time		
<i>Aspidosperma</i>	Apocynaceae	-13.3
<i>Brosimum</i>	Moraceae	-8.1
<i>Couepia</i>	Chrysobalanaceae	-8.9
<i>Croton</i>	Euphorbiaceae	-35.0
<i>Heisteria</i>	Otaceae	-25.0
<i>Hirtella</i>	Chrysobalanaceae	-13.0
<i>Iryanthera</i>	Myristicaceae	-16.3
<i>Licania</i>	Chrysobalanaceae	-11.0
<i>Naucleopsis</i>	Moraceae	-17.8
<i>Oenocarpus</i>	Areaceae	-32.3
<i>Quina</i>	Quinaceae	-29.0
<i>Tetragastris</i>	Burseraceae	-15.0
<i>Unonopsis</i>	Annonaceae	-15.3
<i>Virola</i>	Myristicaceae	-14.0
Tree basal area increases over time		
<i>Corythophora</i>	Lecythidaceae	+12.0
<i>Couepia</i>	Chrysobalanaceae	+10.8
<i>Couma</i>	Apocynaceae	+14.4
<i>Dipteryx</i>	Leguminosae	+7.2
<i>Ecdinusa</i>	Sapotaceae	+13.8
<i>Eschweilera</i>	Lecythidaceae	+7.0
<i>Licaria</i>	Lauraceae	+17.2
<i>Maquira</i>	Moraceae	+9.9
<i>Parkia</i>	Leguminosae	+22.0
<i>Peltogyne</i>	Leguminosae	+15.9
<i>Sarcaulus</i>	Sapotaceae	+14.4
<i>Sclerobium</i>	Leguminosae	+76.6
<i>Sterculia</i>	Sterculiaceae	+23.4
<i>Trattinnickia</i>	Burseraceae	+13.6
Tree basal area decreases over time		
<i>Oenocarpus</i>	Areaceae	-29.1

All increases or decreases in tree genera based on population density and basal-area data are significant ($P < 0.01$).

Laurance et al 2004 Pervasive alteration of tree communities in undisturbed Amazonian forests. *Nature* 428:171-175

Here we show that, over the past two decades, forests in a central Amazonian landscape have experienced highly nonrandom changes in dynamics and composition. Our analyses are based on a network of 18 permanent plots unaffected by any detectable disturbance. Within these plots, rates of tree mortality, recruitment and growth have increased over time. **Of 115 relatively abundant tree genera, 27 changed significantly in population density or basal area—a value nearly 14 times greater than that expected by chance.** An independent, eight-year study in nearby forests corroborates these shifts in composition. **Contrary to recent predictions, we observed no increase in pioneer trees. However, genera of faster-growing trees, including many canopy and emergent species, are increasing in dominance or density, whereas genera of slower-growing trees, including many subcanopy species, are declining.** **Rising atmospheric CO₂ concentrations may explain these changes, although the effects of this and other large-scale environmental alterations remain uncertain. These compositional changes could have important impacts on the carbon storage, dynamics and biota of Amazonian forests.**

Global and Continental Temperature Change

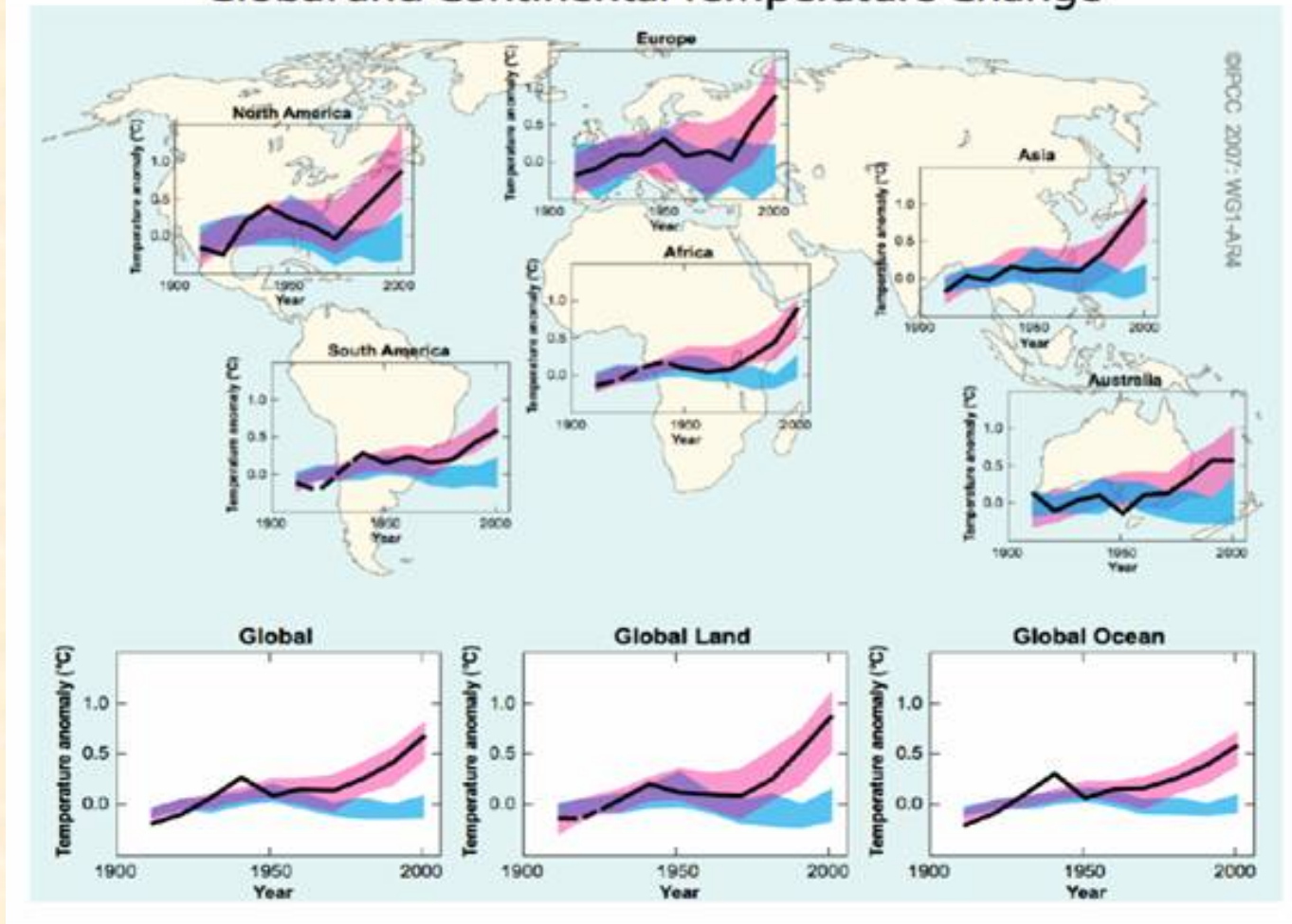


Figure 3. Comparison of observed continental- and global-scale changes in surface temperature with results simulated by climate models using natural and anthropogenic forcings. **Decadal averages** of observations are shown for the period **1906–2005 (black line)** plotted against the centre of the decade and relative to the corresponding average for 1901–1950. Lines are dashed where spatial coverage is less than 50%. **Blue shaded bands** show the 5–95% range for 19 simulations from 5 climate models using only the **natural forcings** due to solar activity and volcanoes. **Red shaded bands** show the 5–95% range for 58 simulations from 14 climate models using **both natural and anthropogenic forcings**. IPCC WGI SPM, 2007

CONSEQUENCES OF GLOBAL CLIMATE CHANGE FOR GEOGRAPHIC DISTRIBUTIONS OF CERRADO TREE SPECIES

Marinez Ferreira de Siqueira¹ & Andrew Townsend Peterson²

Biota Neotropica v3 (n2) – <http://www.biotaneotropica.org.br/v3n2/pt/abstract?article+BN00803022003>

Date Received 01/27/2003

Revised 04/15/2003

Accepted 07/21/2003

<http://www.biotaneotropica.org.br/v3n2/pt/fullpaper?bn00803022003+en>

Data on distributions and ecological dimensions

Distributional data representing **15,657 records (i.e., unique species x latitude-longitude combinations)** for **162 tree species** occurring in Cerrado (*sensu lato*) were assembled from the *Projeto de Cooperação Técnica Conservação e Manejo da Biodiversidade do Bioma Cerrado – EMBRAPA Cerrados – UnB – Ibama/DFID e RBGE/Reino Unido*.

Ecological niche modeling and dispersal assumptions.

All modeling in this study was carried out on a desktop implementation of **Genetic Algorithm for Ruleset Prediction (GARP)** now available publicly for download (<http://beta.lifemapper.org/desktopgarp/>)

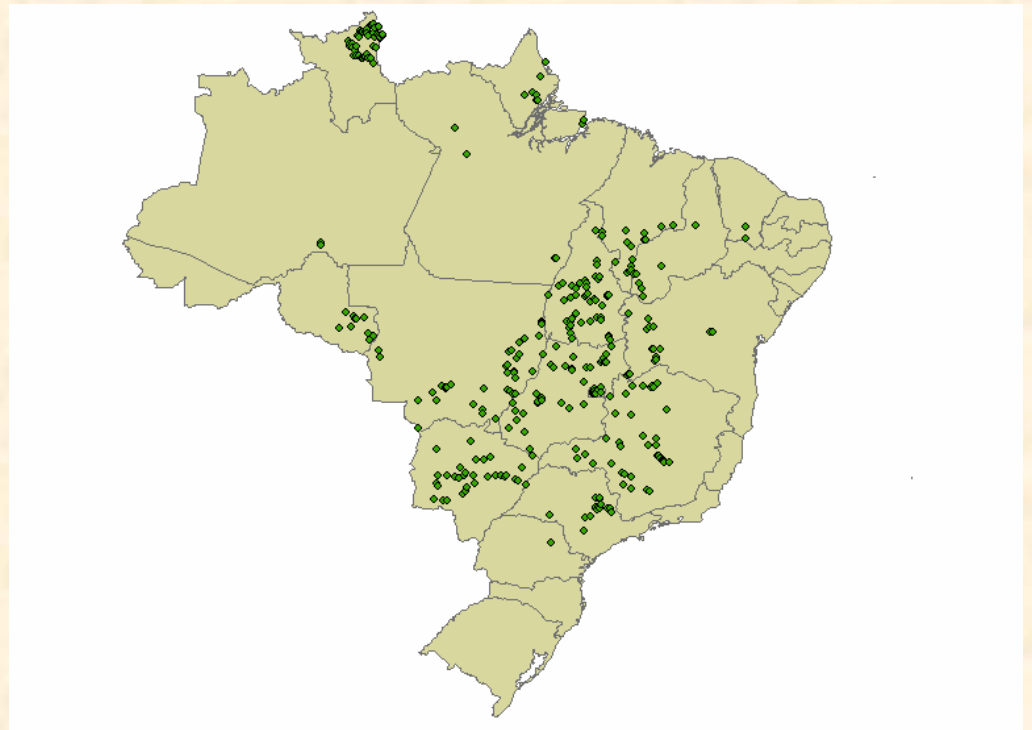
Scenarios of climate change

We assessed both a conservative and a less conservative view of how climates could change over the next 50 yr using the Hadley HHGSDX50 and HHGGAX50 scenarios (http://ipcc-ddc.cru.uea.ac.uk/cru_data/examine/HadCM2_info.html). The future projected climate data are provided at a spatial resolution of 2.5 x 3.75° (Carson 1999). To improve spatial resolution, however, following recommended methodologies (<http://www.ipcc.ch/>), we calculated expected changes in each climate variable for each scenario and each of the relatively coarse pixels via subtraction of future from present model results. These difference maps were then applied to the more detailed (0.5 x 0.5° cells) IPCC current climate data layers, which are developed and provided by the same organism, and which are intended to be parallel and consistent with the climate-model projections.

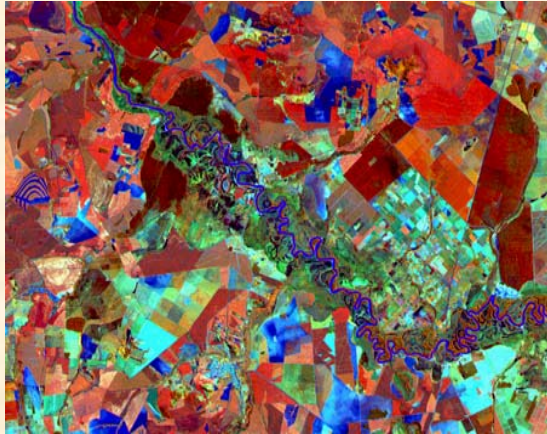
Construindo um modelo

Pontos de ocorrência (latitude e longitude) de uma determinada espécie.

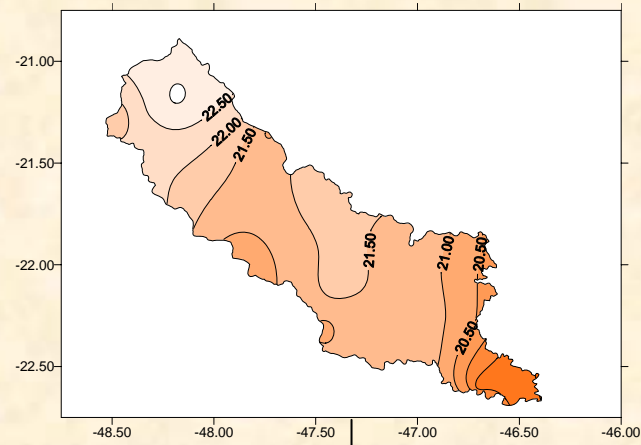
$P_i = (\text{Lati}, \text{Longi})$



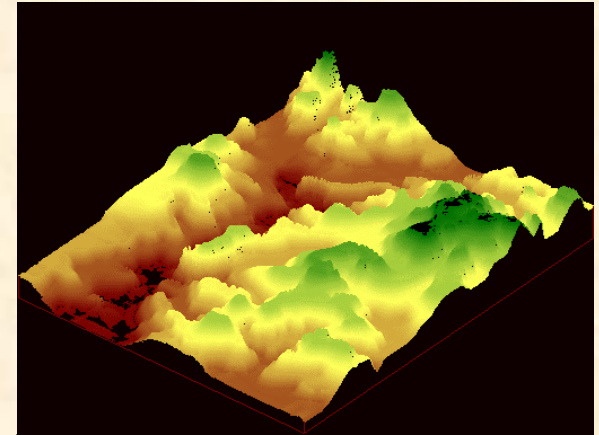
Imagens /Uso da Terra



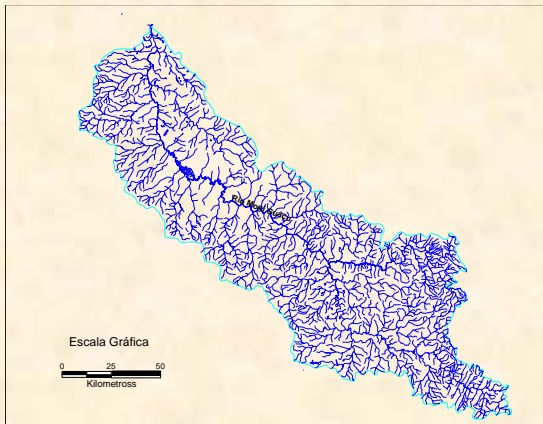
Clima



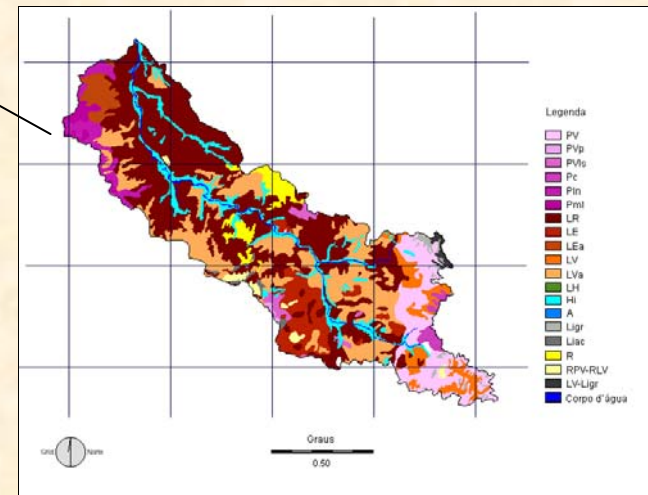
Relevo



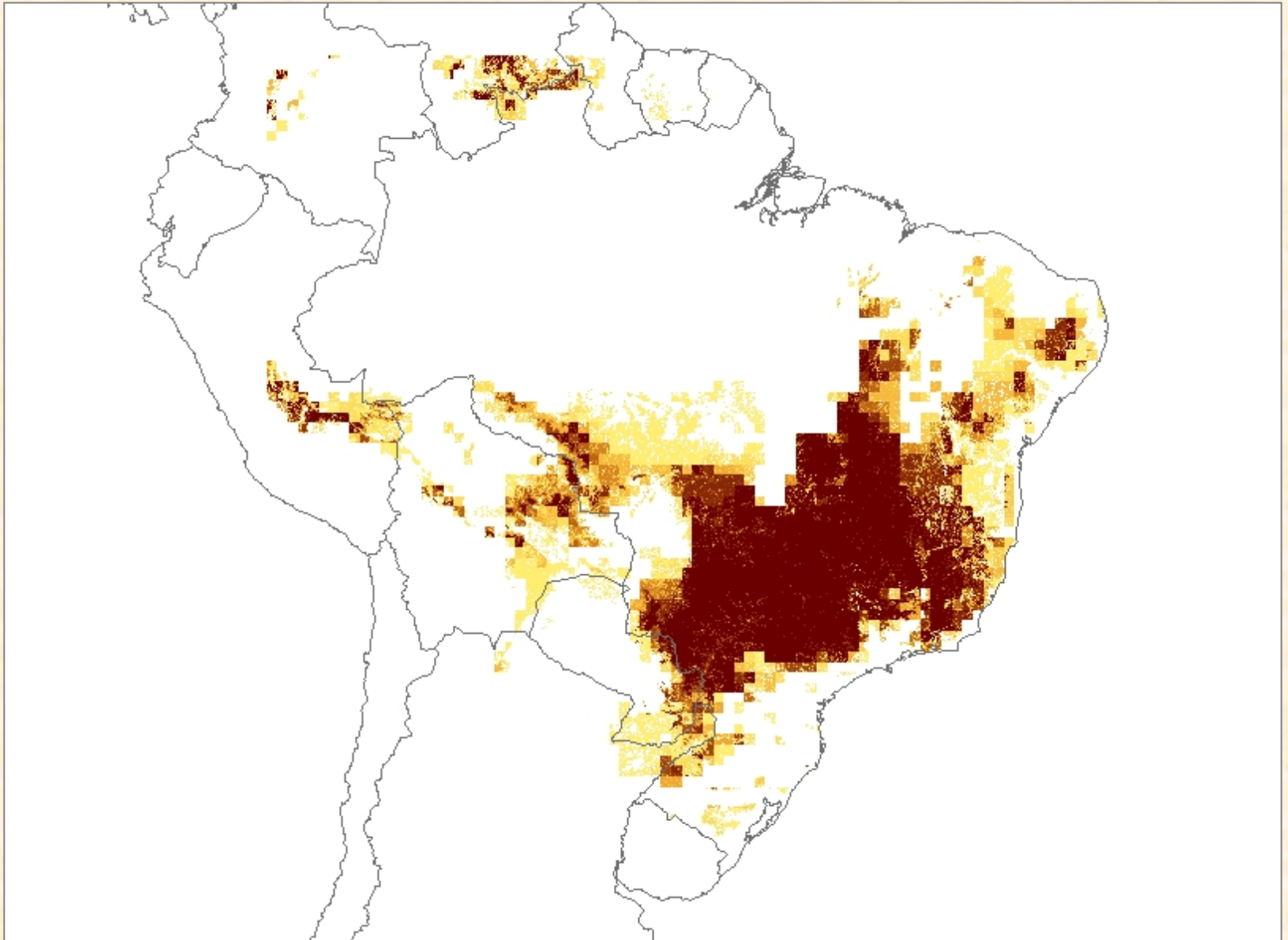
Drenagem

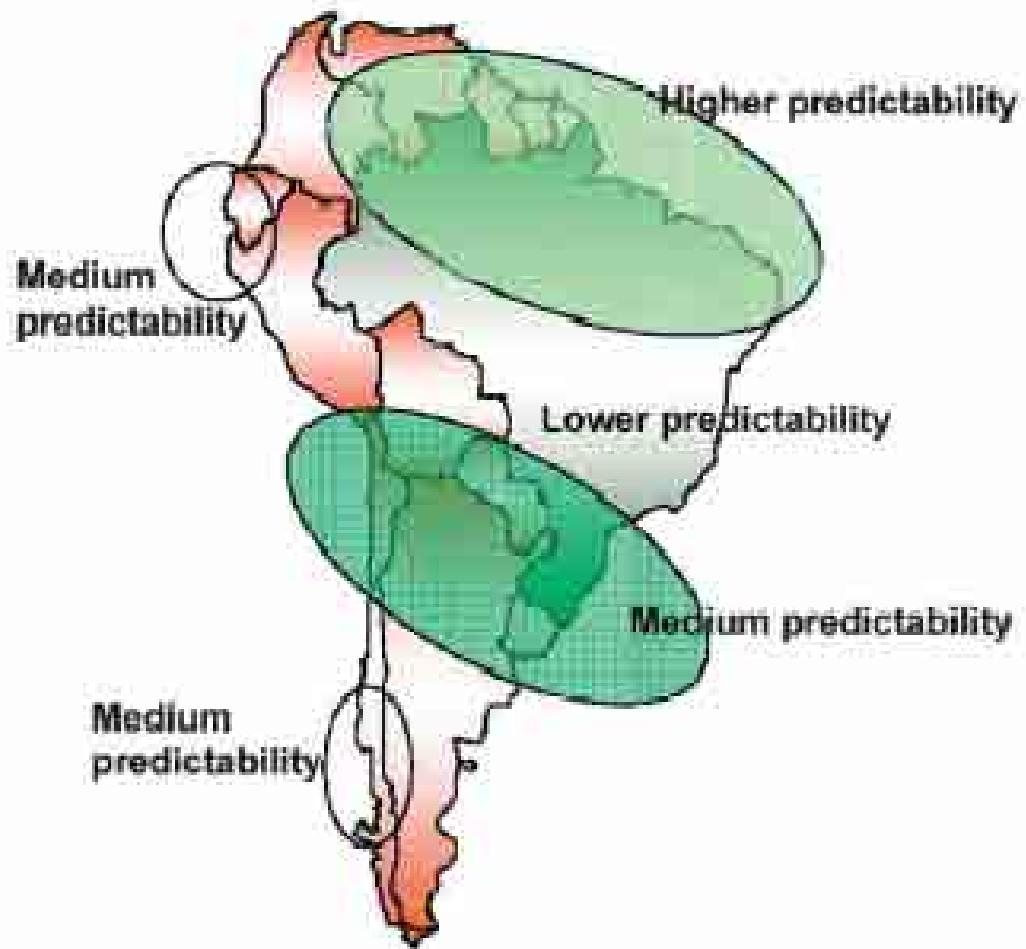


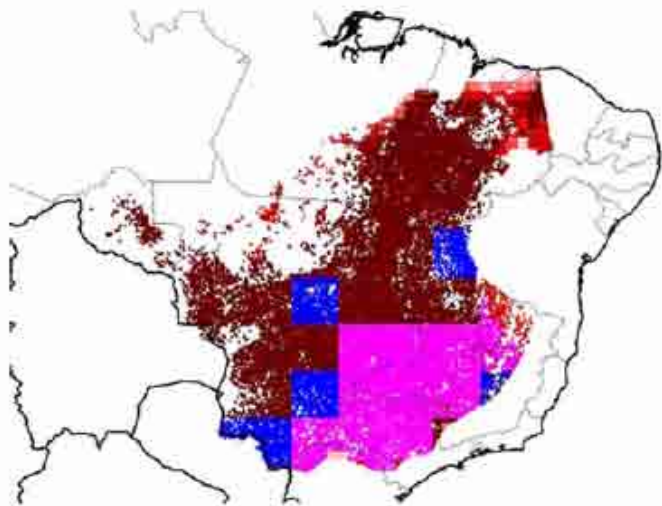
Solos



Distribuição de *Terminalia argentea* usando GARP

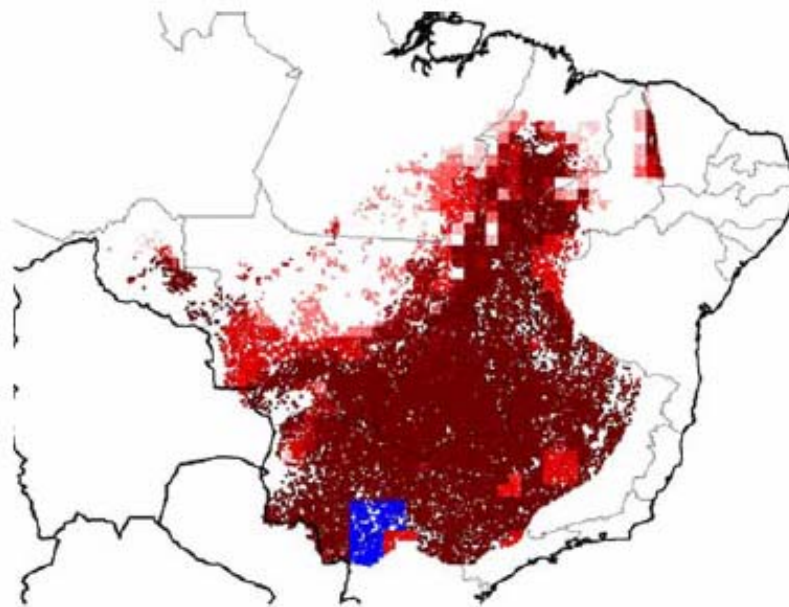






***Qualea grandiflora* Mart**

(Vochysiaceae)



***Rapanea guianensis* Aubl.**

(Myrsinaceae)



Área de ocorrência atual

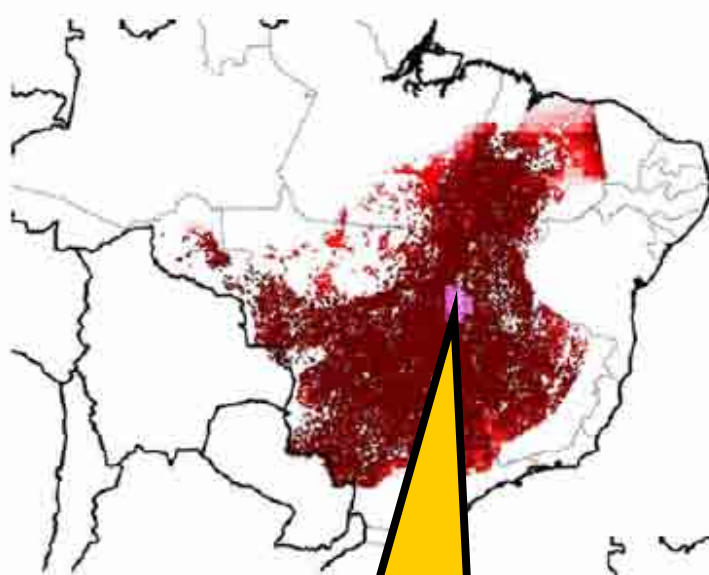


Área de possível ocorrência em 2055 – cenário otimista < 2°C

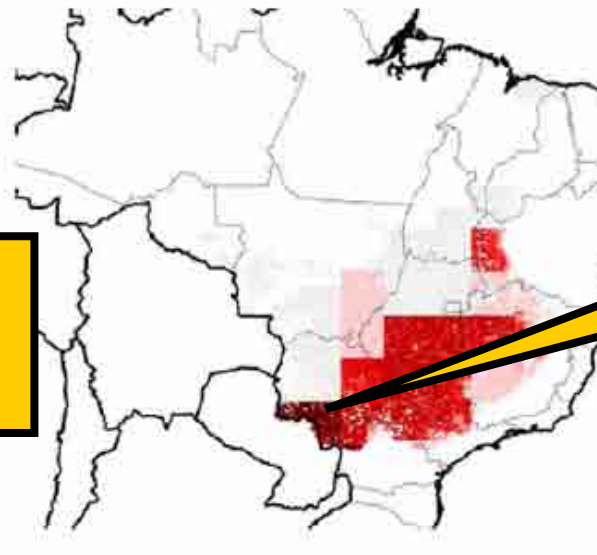


Área de possível ocorrência em 2055 – cenário pessimista > 3°C

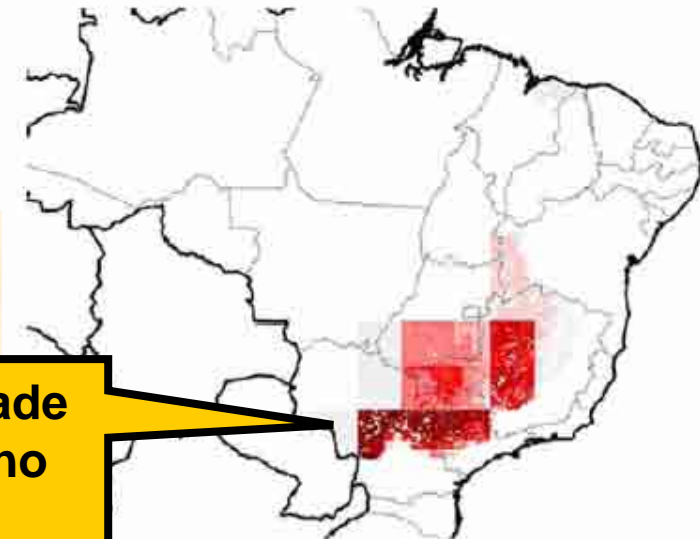
Figure 2. Patterns of predicted species richness among the 162 species of cerrado trees analyzed in the core distributional area of cerrado in central and eastern Brazil. **Top, present (1961-1990); middle, HHGSDX50 (conservative) climate change scenario; and bottom, HHGGAX50 (less conservative) climate change scenario.**



Área atualmente com a maior diversidade de espécies arbóreas



Área de maior diversidade de espécies arbóreas no cenário otimista

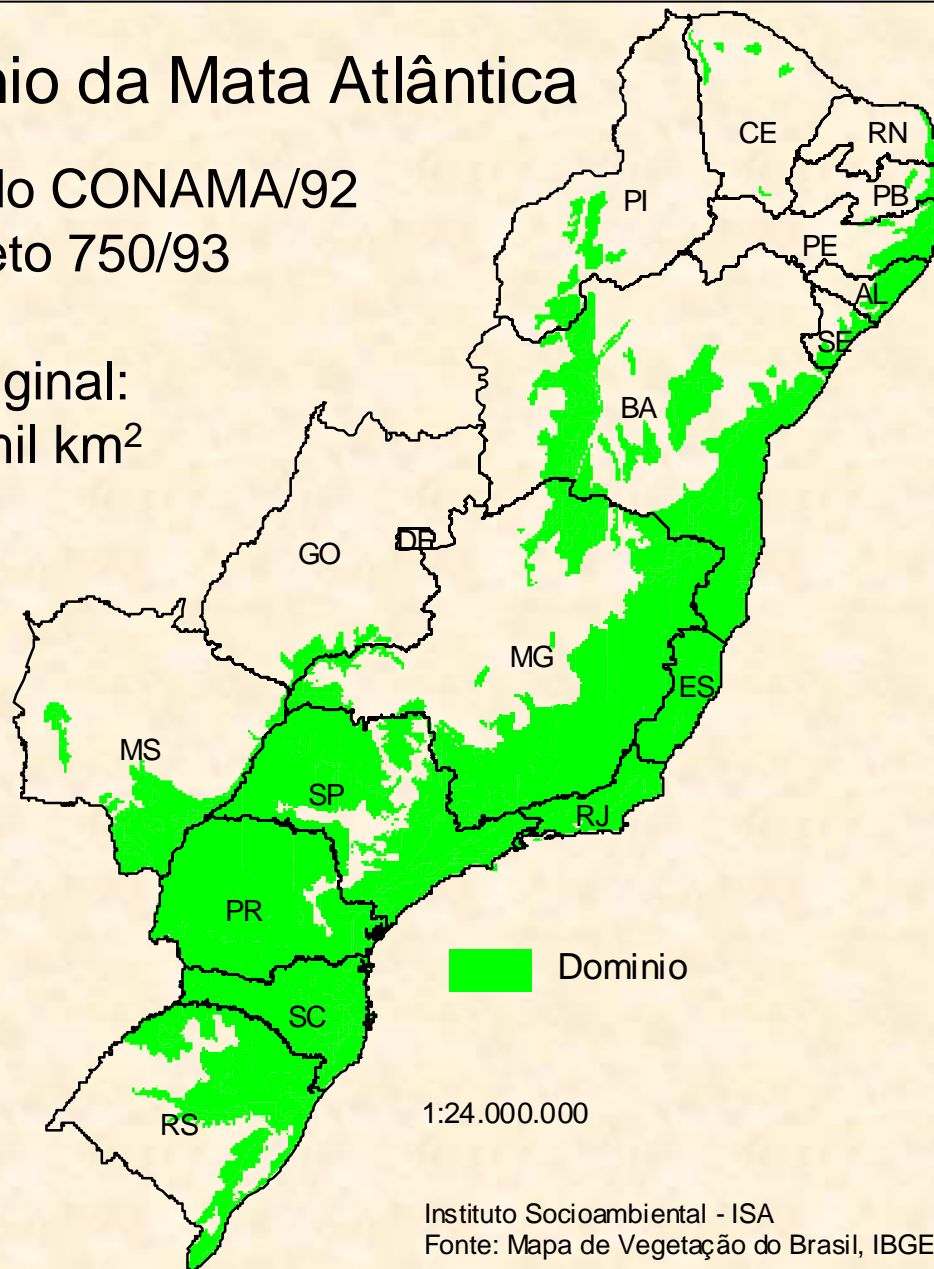


Área de maior diversidade de espécies arbóreas no cenário pessimista

Domínio da Mata Atlântica

Segundo CONAMA/92
e Decreto 750/93

área original:
1.306 mil km²



Instituto Socioambiental - ISA
Fonte: Mapa de Vegetação do Brasil, IBGE, 1993



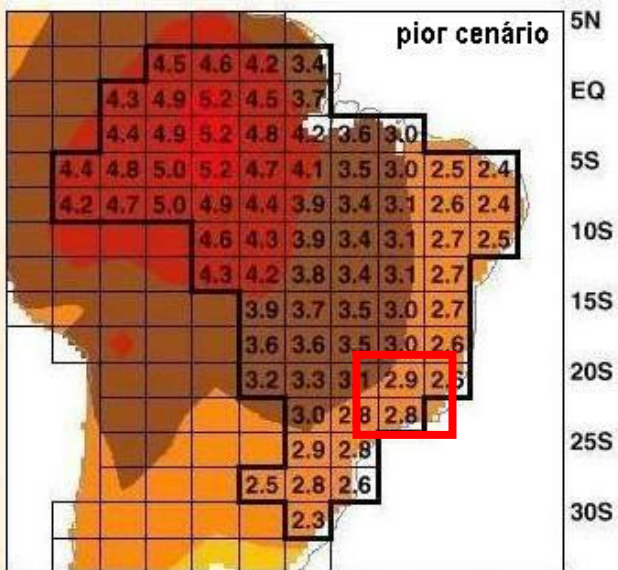
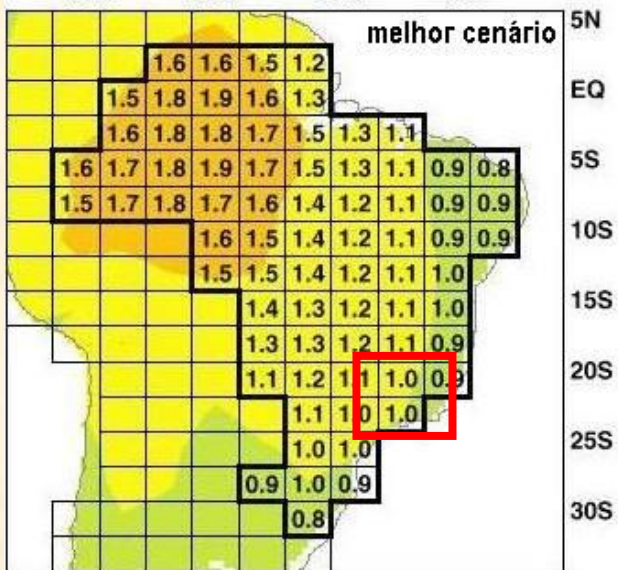
CENÁRIOS CLIMÁTICOS PARA O BRASIL

2050 Temperatura JJA

Alteração em graus C



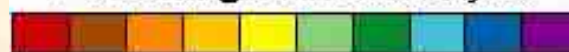
70W 60W 50W 40W



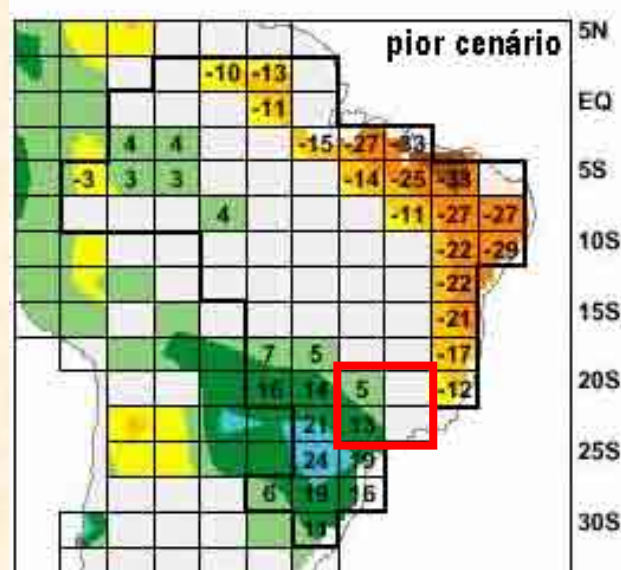
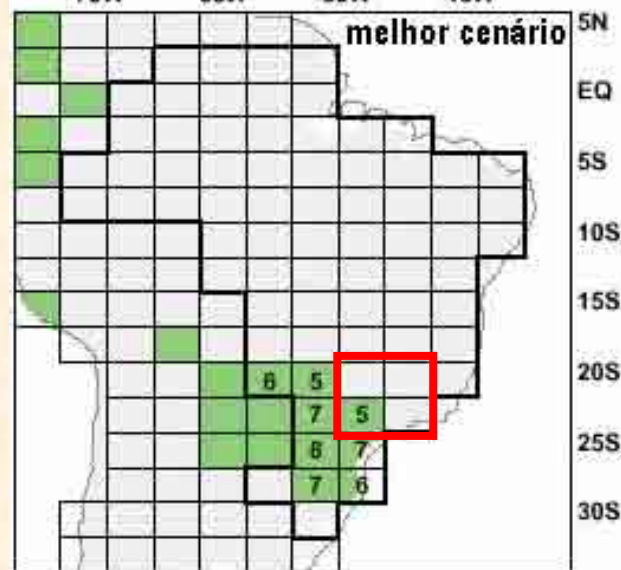
70W 60W 50W 40W

2050 Precipitação SON

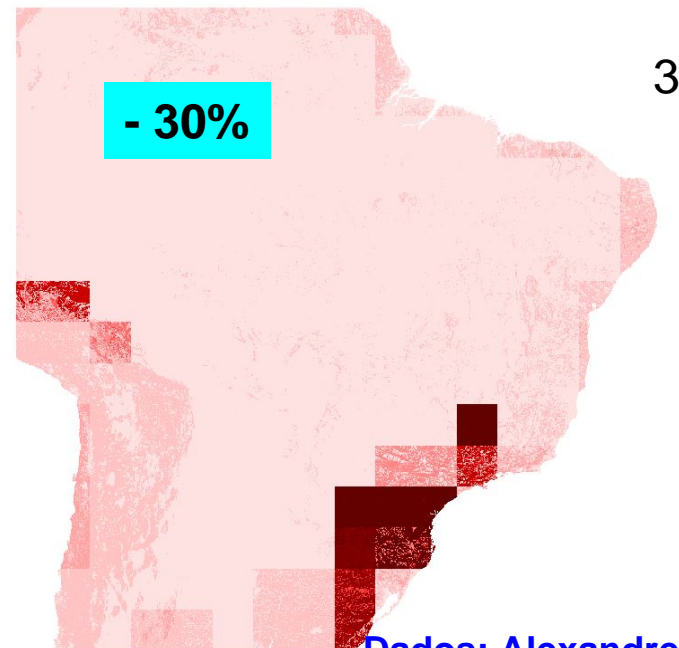
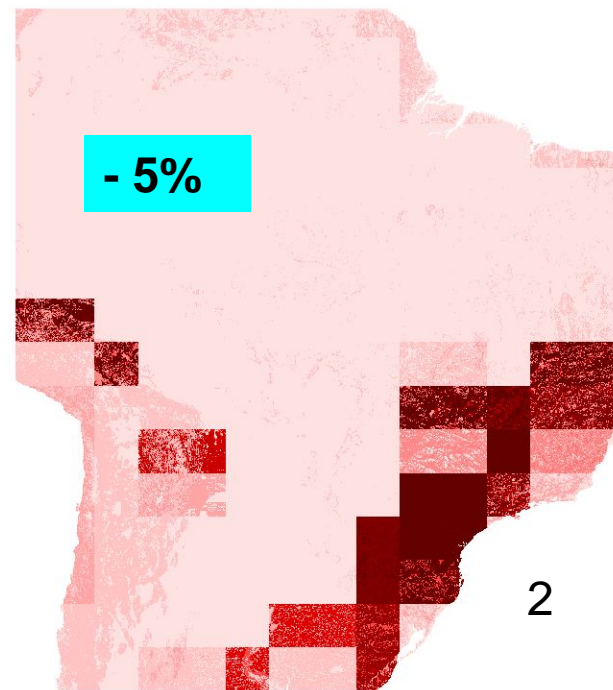
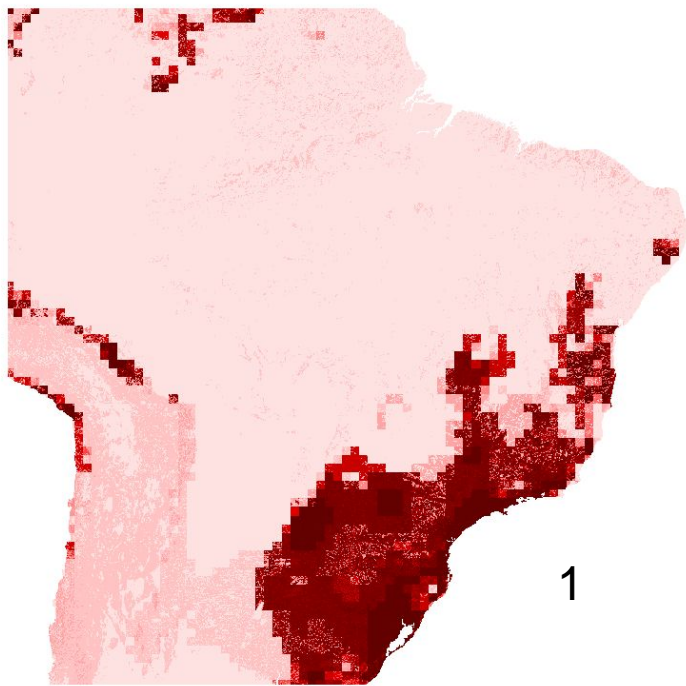
Percentagem de Alteração



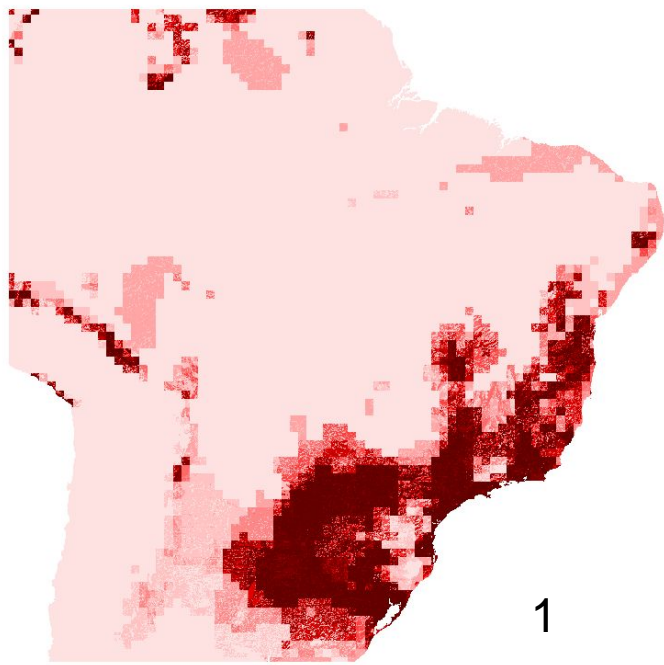
70W 60W 50W 40W



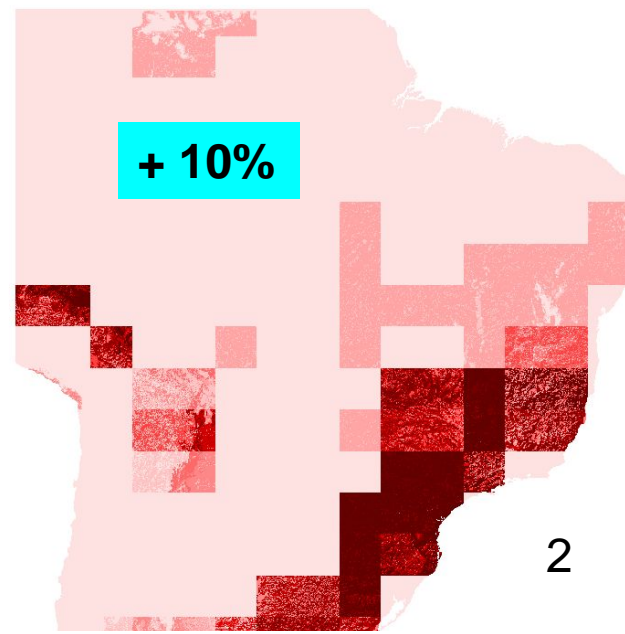
70W 60W 50W 40W



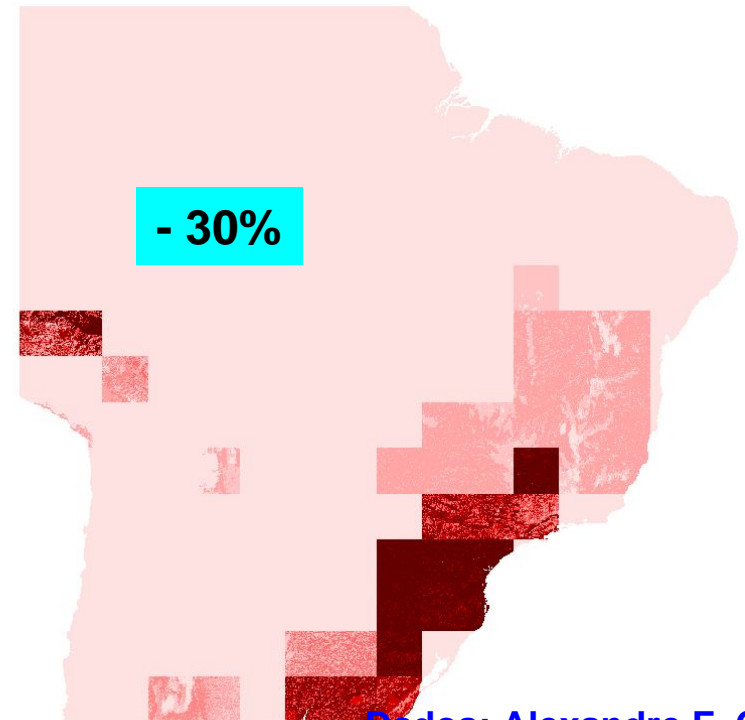
Geographic distribution of *Calyptranthes grandifolia* O. Berg. (Myrtaceae) 1 – present registered occurrence; 2 projection of occurrence area in 2050 with the optimistic scenario; 3 projection of occurrence area in 2050 with the pessimistic scenario of global warming.



1

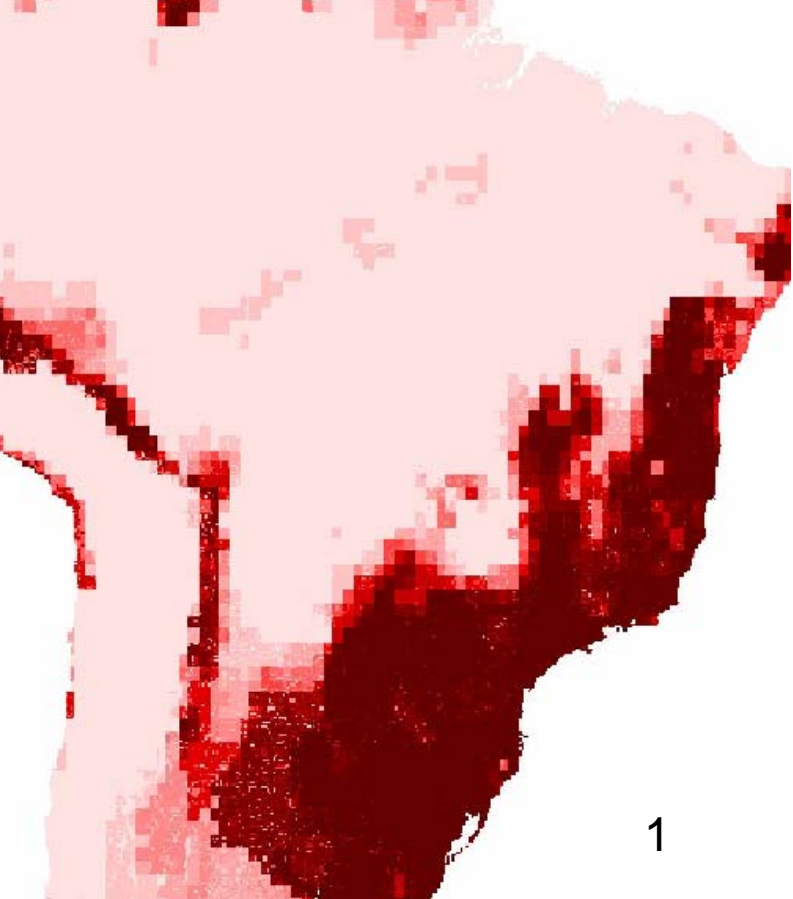


2



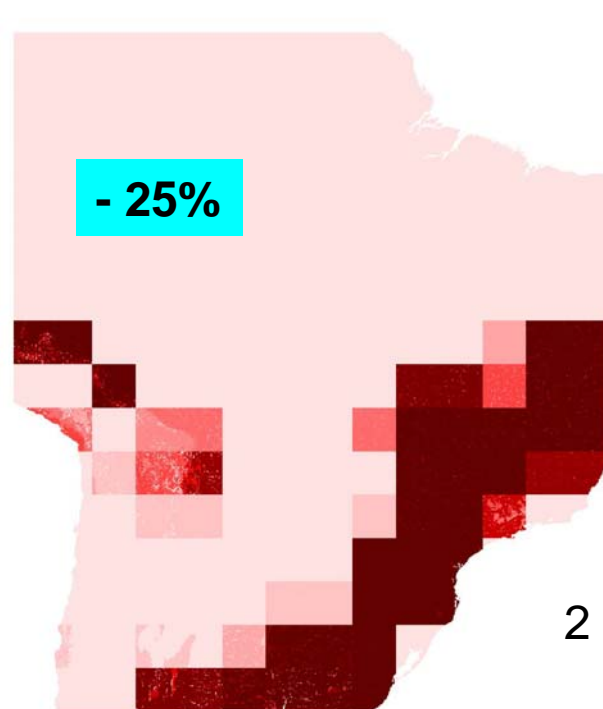
3

Geographic distribution of *Chrysophyllum flexuosum* Mart. (Sapotaceae) 1 – present registered occurrence; 2 projection of occurrence area in 2050 with the optimistic scenario; 3 projection of occurrence area in 2050 with the pessimistic scenario of global warming.

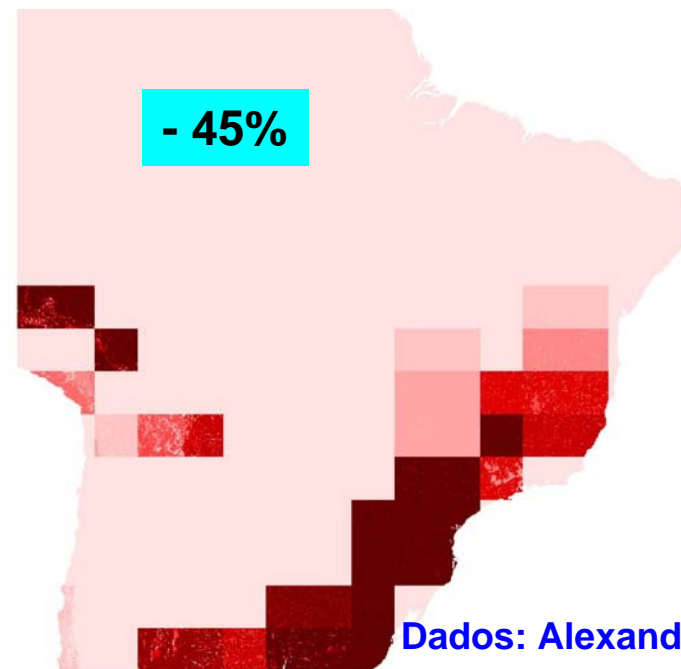


1

Geographic distribution of *Alchornea triplinervia* (Spreng.) Müll. Arg. (Euphorbiaceae) 1 – present registered occurrence; 2 projection of occurrence area in 2050 with the optimistic scenario; 3 projection of occurrence area in 2050 with the pessimistic scenario of global warming.



2

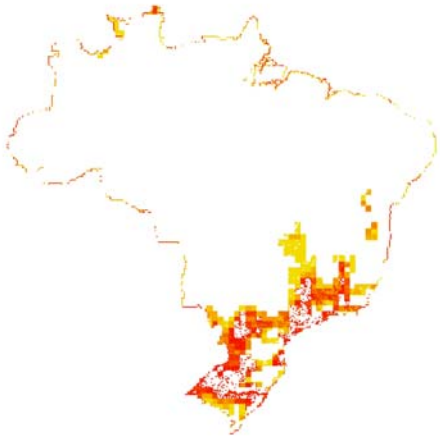


3

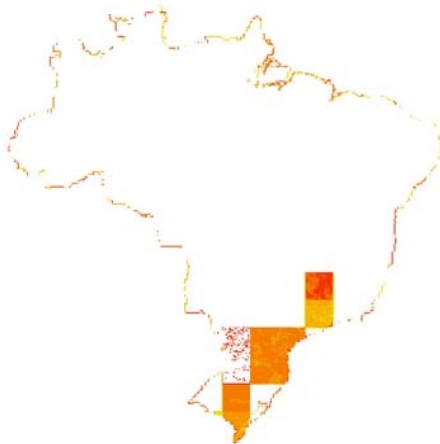


Dados: Alexandre F. Colombo

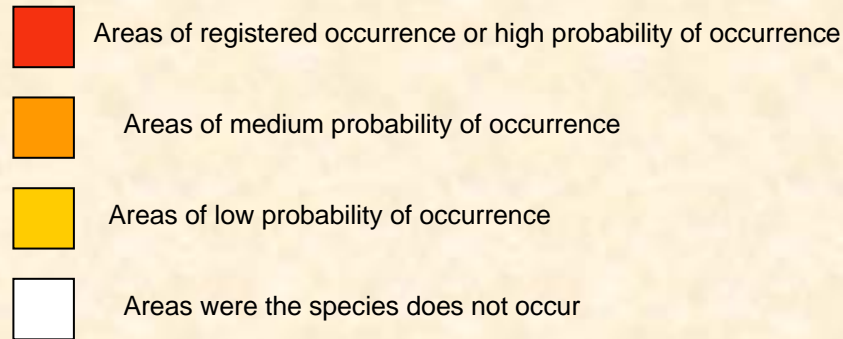
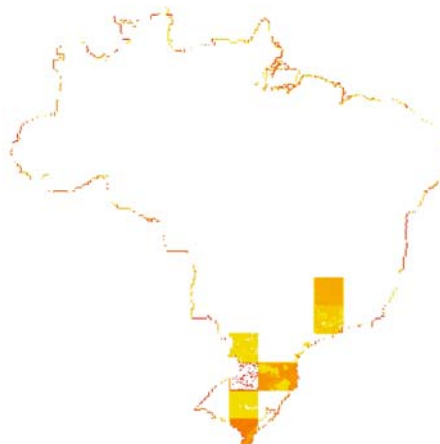
1



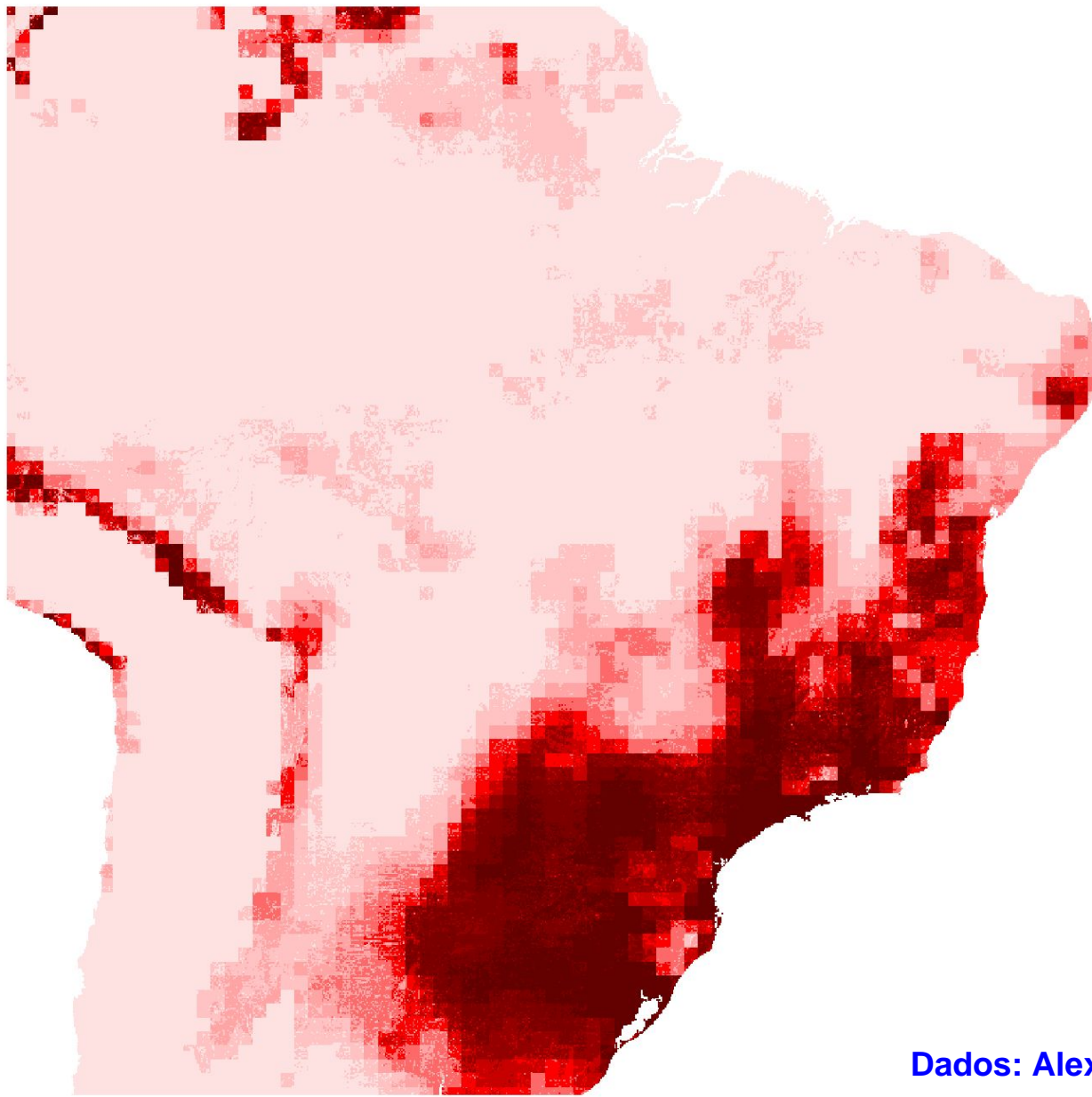
2



3

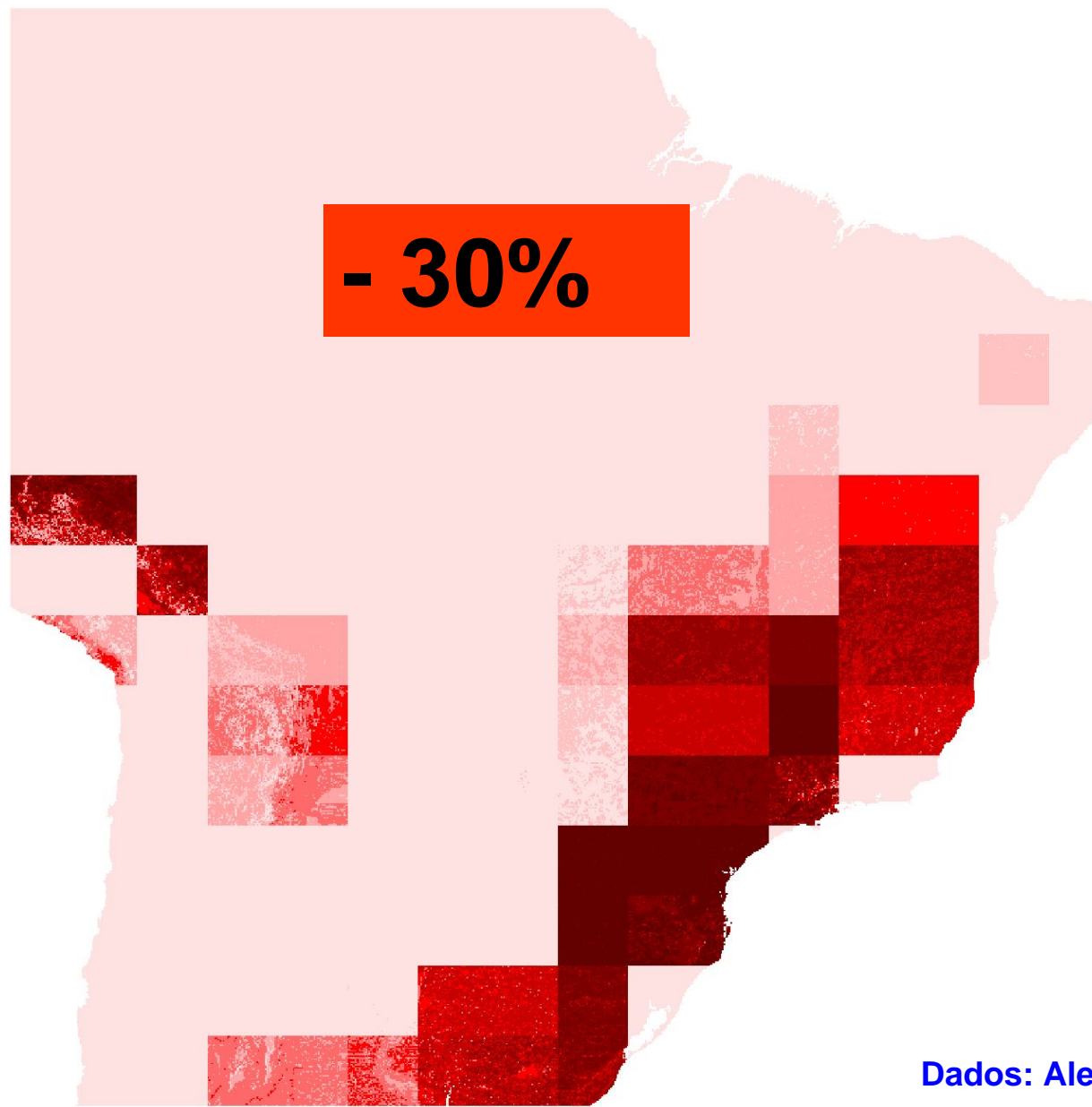


Geographic distribution of *Euterpe edulis* Mart. (Arecaceae) – Palm heart. 1 – present registered occurrence; 2 projection of occurrence area in 2050 with the optimistic scenario; 3 projection of occurrence area in 2050 with the pessimistic scenario of global warming.



Dados: Alexandre F. Colombo

Present geographic distribution of Mata Atlântica *sensu lato*.



Dados: Alexandre F. Colombo

**Geographic distribution of Mata Atlântica *sensu lato* in 2050
with the optimistic scenario.**

- 65%


Dados: Alexandre F. Colombo

**Geographic distribution of Mata Atlântica *sensu lato* in 2050
with the pessimistic scenario.**

Clique na Legenda para saber mais sobre os Ecossistemas

Precipitação

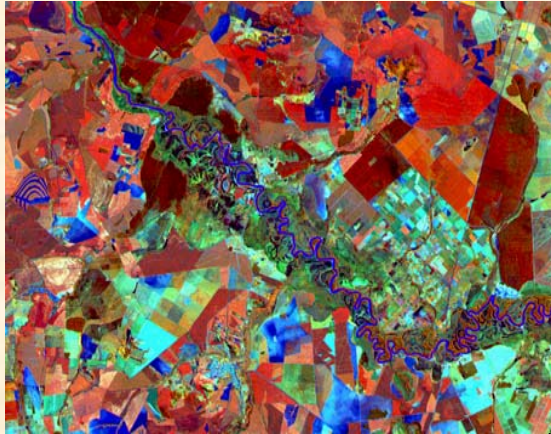
Temperatura

-  Floresta Ombrófila Densa
-  Floresta Ombrófila Aberta
-  Floresta Ombrófila Mista
-  Campos de Altitude, encaves de cerrado, zonas de tensão ecológica

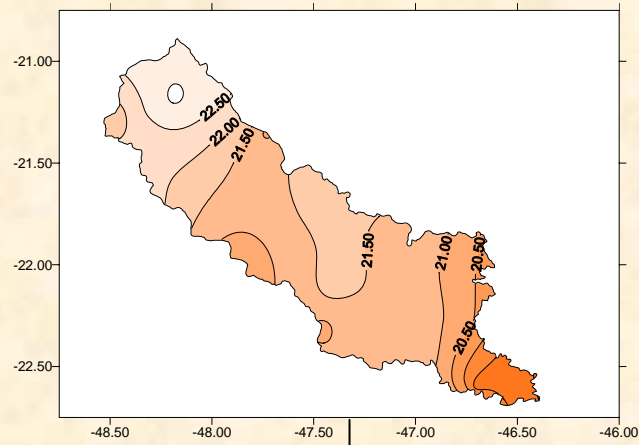


Deficiências dos Modelos

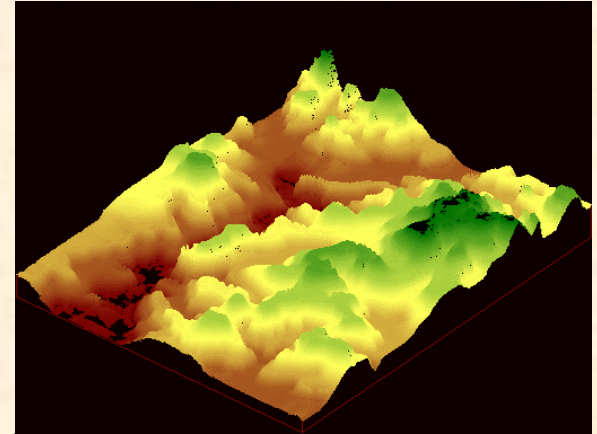
Imagens /Uso da Terra



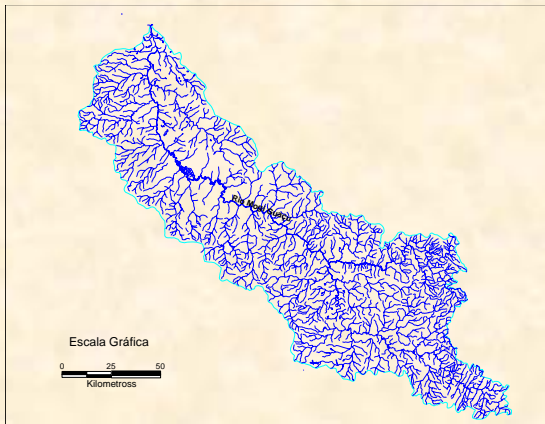
Clima



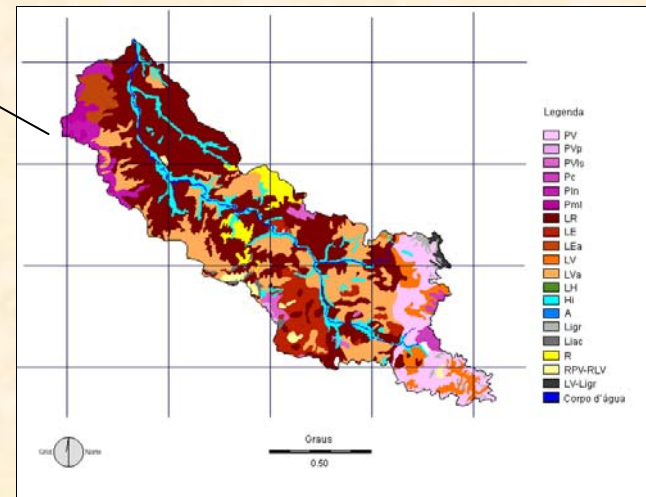
Relevo

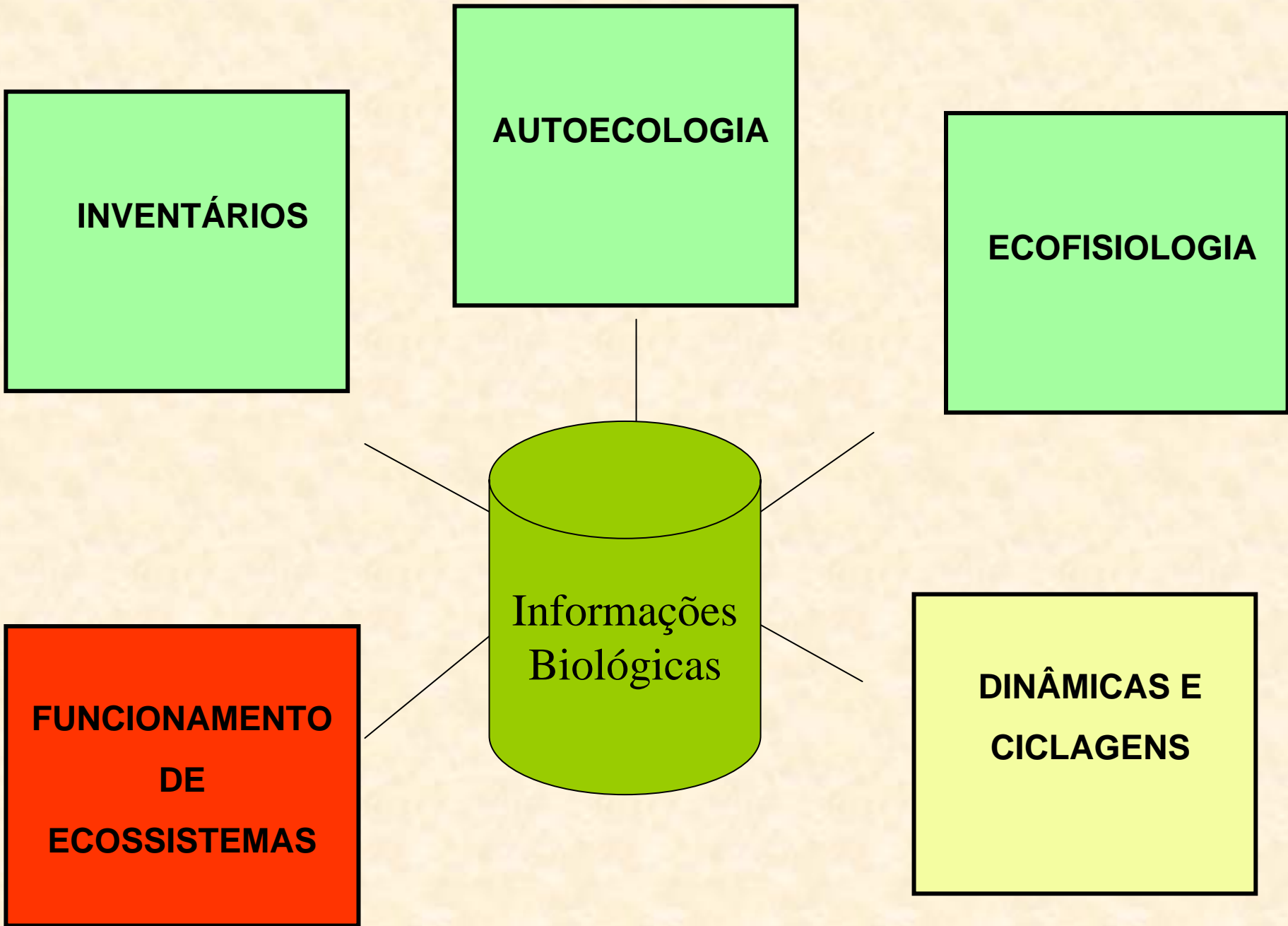


Drenagem



Solos







equipe | resumo | área de estudo | projeto



Projeto Temático

Composição florística, estrutura e funcionamento da Floresta Ombrófila Densa dos Núcleos Picinguaba e Santa Virgínia do Parque Estadual da Serra do Mar, São Paulo, Brasil

Instituições envolvidas



http://www.ib.unicamp.br/destaques/biota/gradiente_funcional/index.html

A PARTIAL TIME SCALE (CRETACEOUS TO PRESENT)

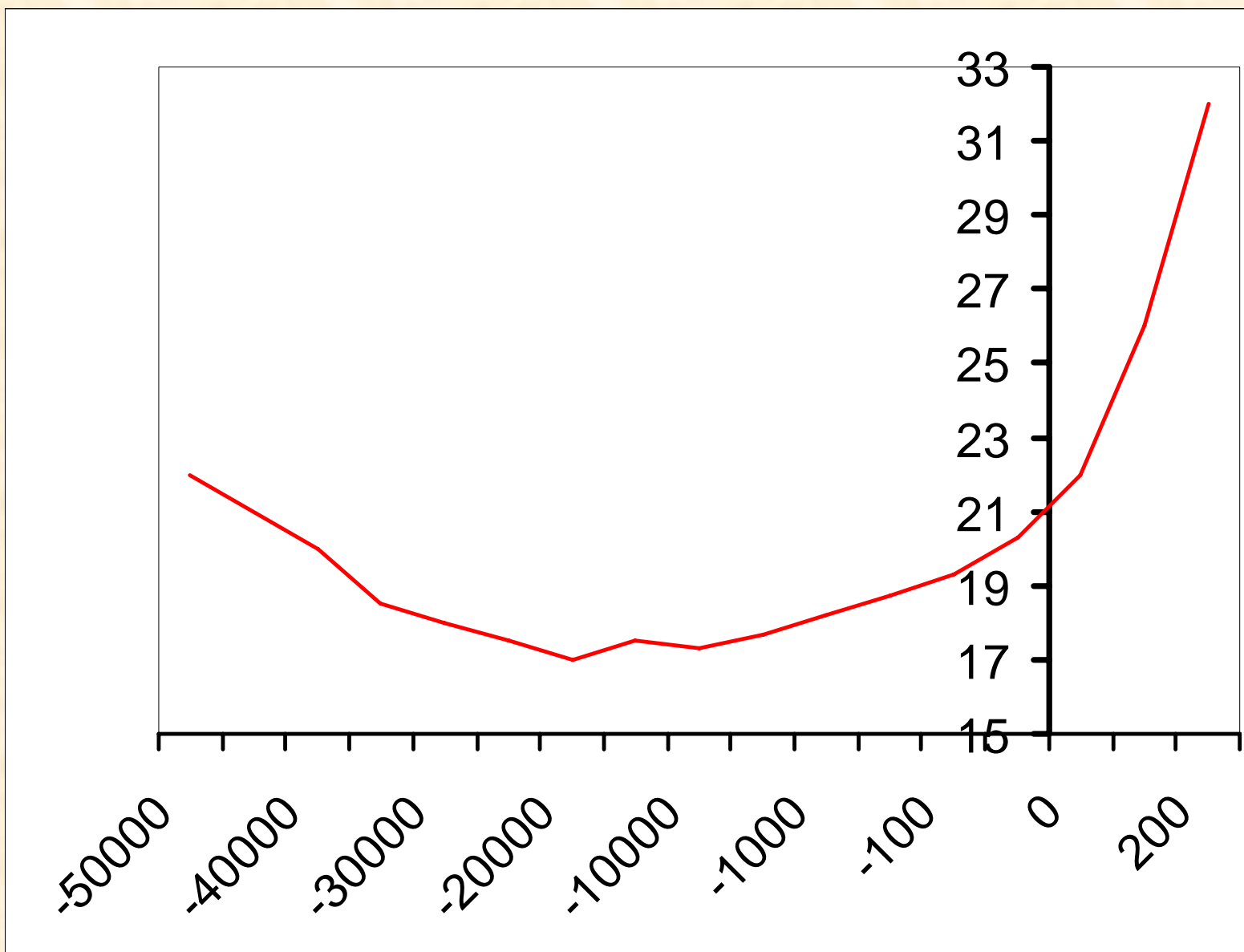
ERA	PERIOD / SUBERA	EPOCH / STAGE	Million Years Before Present	NEOTROPICAL EVENTS		
CENOZOIC	QUATERNARY	HOLOCENE	0.01	QUATERNARY CLIMATE		
		PLEISTOCENE	1.64			
	TERTIARY	NEOGENE	PLIOCENE	5.2	LANDBRIDGE EXISTS	
			MIOCENE	23.3		
			PALEOGENE	OLIGOCENE		34
				EOCENE		56.5
		PALEOCENE		65		
		MAESTRICHT.		74		
		MESOZOIC	CRETACEOUS	CAMPANIAN	88.5	ISOLATION
				SANTONIAN		
CONIACIAN						
TURONIAN						
CENOMANIAN	97					
ALBIAN	112					
APTIAN						

SINERGIA

The History of Neotropical Vegetation: New Developments and Status

Robyn J. Burnham; Alan Graham

Annals of the Missouri Botanical Garden, Vol. 86, No. 2 (Spring, 1999), 546-589.



ANTAGONISMO

Escala logarítmica da evolução da temperatura média da Terra nos últimos 50.000 anos.



Duas realidades

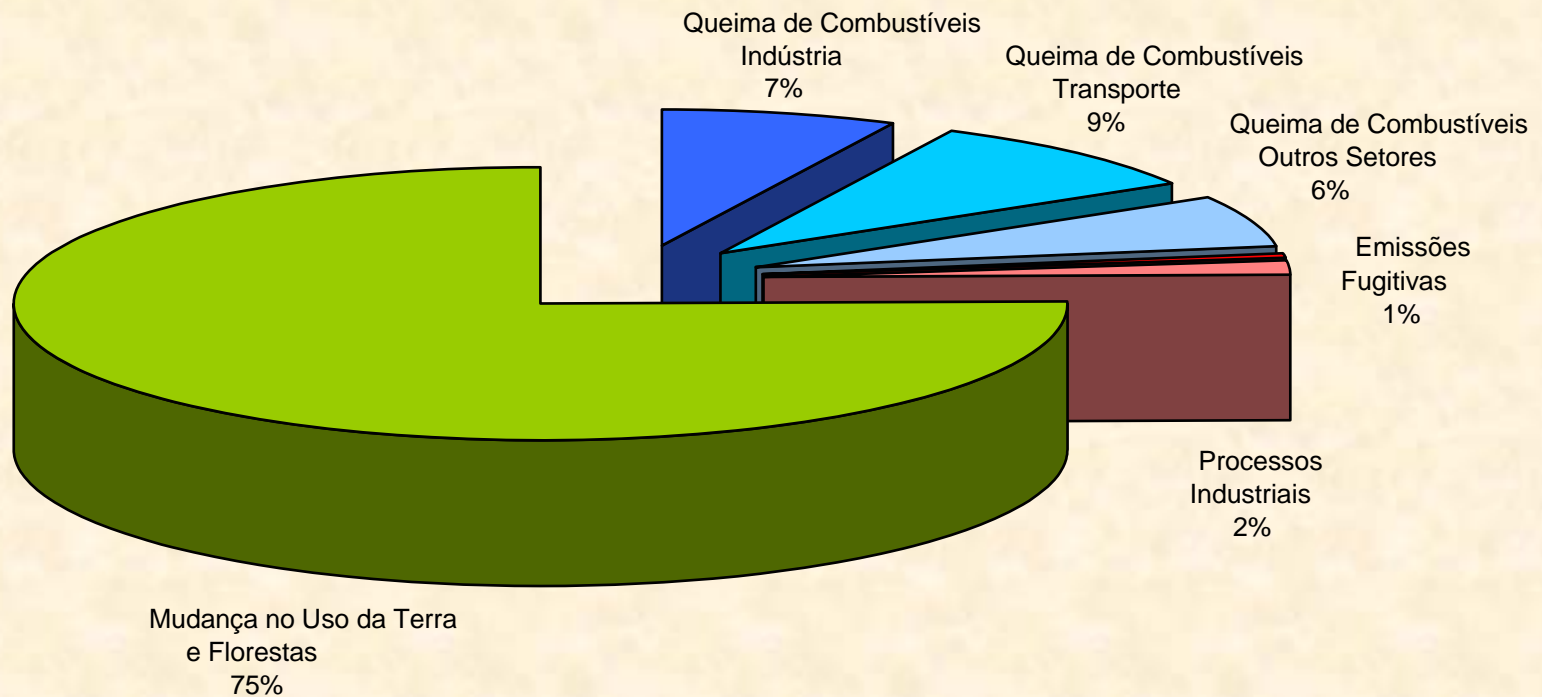
Cortesia Peter Mann de Toledo

An aerial photograph showing a large-scale agricultural fire. A massive plume of thick, grey and white smoke rises from a field, partially obscuring the sky. The field is divided into sections, some of which are charred and brown, while others are still green. The fire is contained within a boundary, possibly a fence or a natural barrier. The surrounding area is a dense green forest.

**100 a 200 toneladas de
Carbono por hectare**

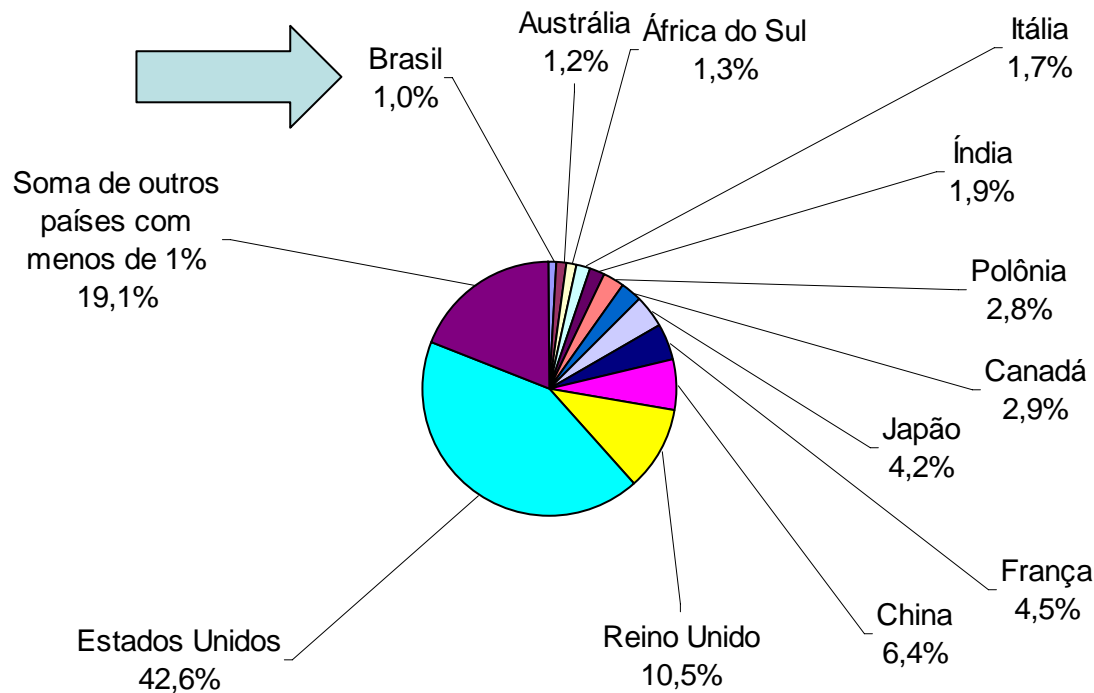
fonte: Greenpeace

GEEs Emissions - 1994



Contribuição Histórica do Brasil

Contribuições para a Mudança do Clima em 1990 da emissão de Combustíveis Fósseis e Mudança no uso da terra por país



Elaborado pela equipe da COPPE (Prof. Pinguelli) com base na proposta brasileira para Quioto em 1997 (MCT/MRE)



Ministério da
Ciência e Tecnologia



O Brasil tem a oportunidade histórica, e a obrigação moral, de iniciar as negociações do Período Pós-2012 (Pós Kyoto), propondo uma diminuição voluntária de suas emissões de GEEs. Uma redução de 20% dos GEEs que o Brasil emite anualmente corresponde a uma redução de, apenas, 35% das taxas atuais de desmatamento. Portanto, limitar voluntariamente nossas emissões não é um empecilho para nosso desenvolvimento econômico, pelo contrário, significa não incinerar nossa rica biodiversidade, dando as gerações futuras a possibilidade de usa-la de forma sustentável .

Evidentemente, este esforço tem custos que, a meu ver, devem ser financiados pelos países desenvolvidos, com a fiscalização e certificação do efetivo cumprimento das metas de redução de desmatamento estabelecidas.

REMOÇÃO DE GASES DE EFEITO ESTUFA – Financiável pelo Protocolo de Kyoto

Programa de revitalização e recuperação dos remanescentes de vegetação nativa

Em parceria com os Consórcio/Comitês projetos de recomposição da vegetação nativa da APPs – Mata Ciliar

EVITAR A EMISSÃO GASES DE EFEITO ESTUFA – Financiável pelo Protocolo de Kyoto

Programa de controle de emissões veiculares

Programa de controle de emissões industrial

Programa de aproveitamento de gases gerados por aterros sanitários

PROGRAMAS DE MUDANÇA DE PADRÃO DE CONSUMO/COMPORTAMENTO

Programa de incentivo de uso de madeira certificada – construção civil, móveis, lenha

Programas efetivos de reciclagem

Estímulo ao uso de fontes alternativas de energia – painéis solares, etc....

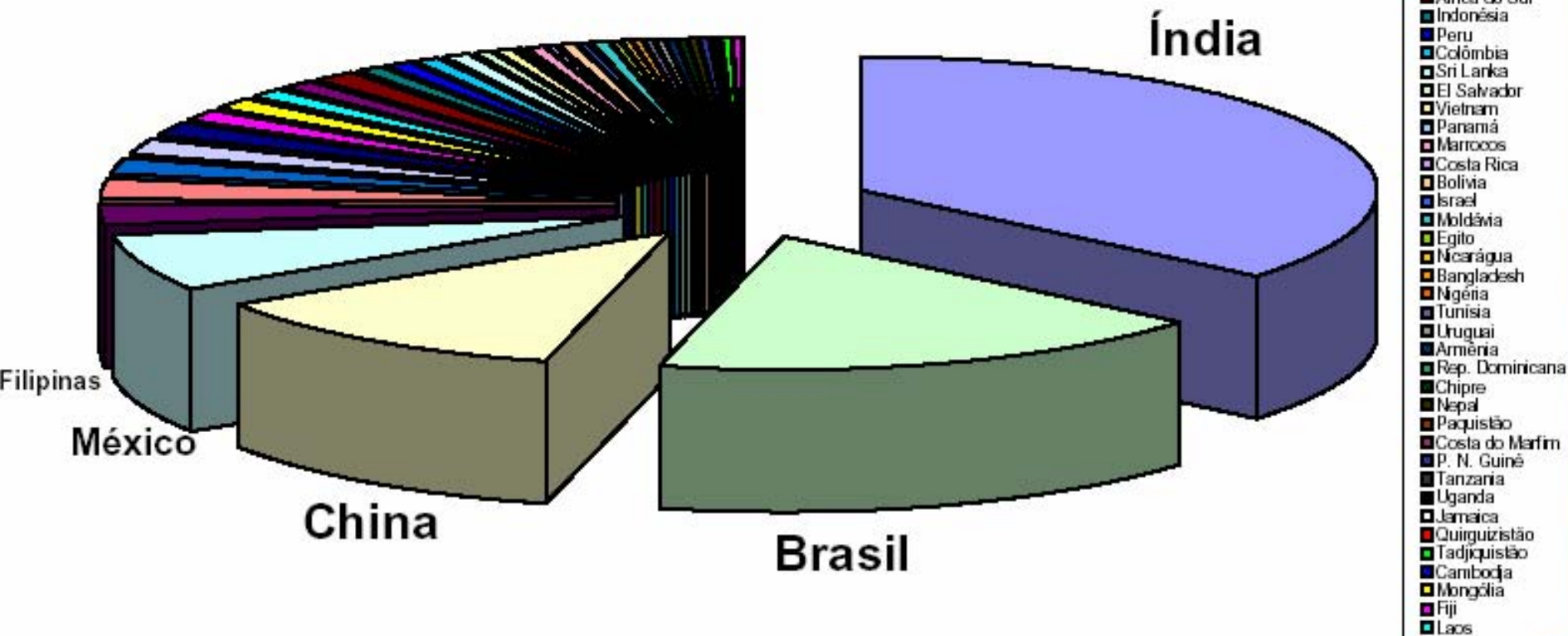
-
-
-
-

ATUALIZAÇÃO DO INVENTÁRIO NACIONAL DE EMISSÕES DE GEEs, REGIONALIZAÇÃO DO INVENTÁRIO NACIONAL.



MUITO OBRIGADO !

Total de Atividades de Projeto do MDL no Mundo 1015



Número de atividades de projeto do MDL por região

